

Sendagaien administrazioa azalean



16. gaia

Edukien indizea

1. Sarrera
2. Azalaren egitura
3. Azal-bidezko xurgapena
4. Azal-bidezko xurgapenaren zinetika
5. Azal-bidezko xurgapena baldintzatzen duten faktoreak
6. Azal-bidezko xurgapena aztertzeko metodoak
7. Xurgapenaren sustatzaileak
8. Azalean erabiltzeko forma farmazeutikoak
9. Askapen transdermikoa lortzeko sistemak
10. Iontoforesia
11. Sonoforesia

Sarrera



Produktu topikoak

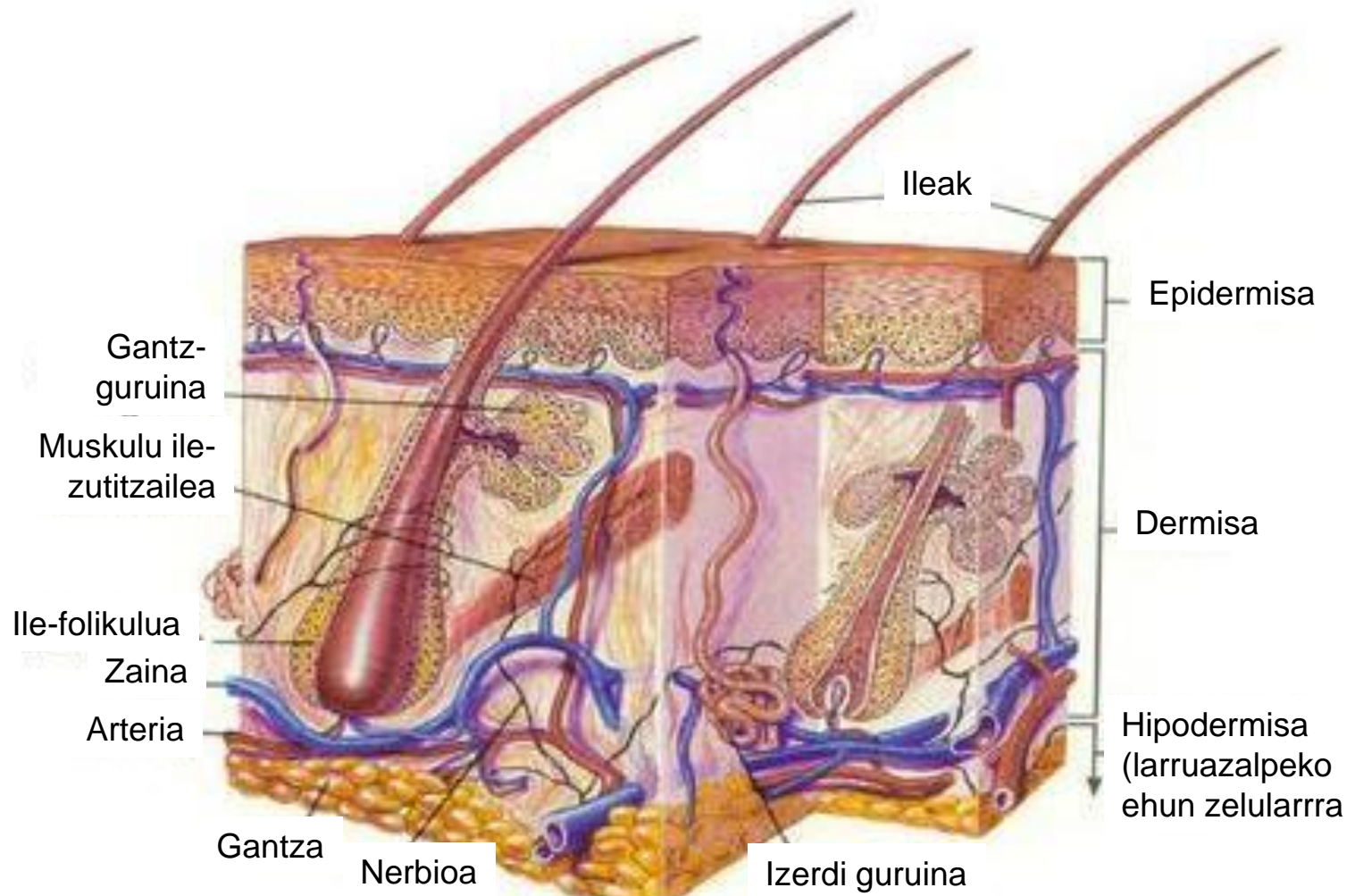


Produktu transdermikoak

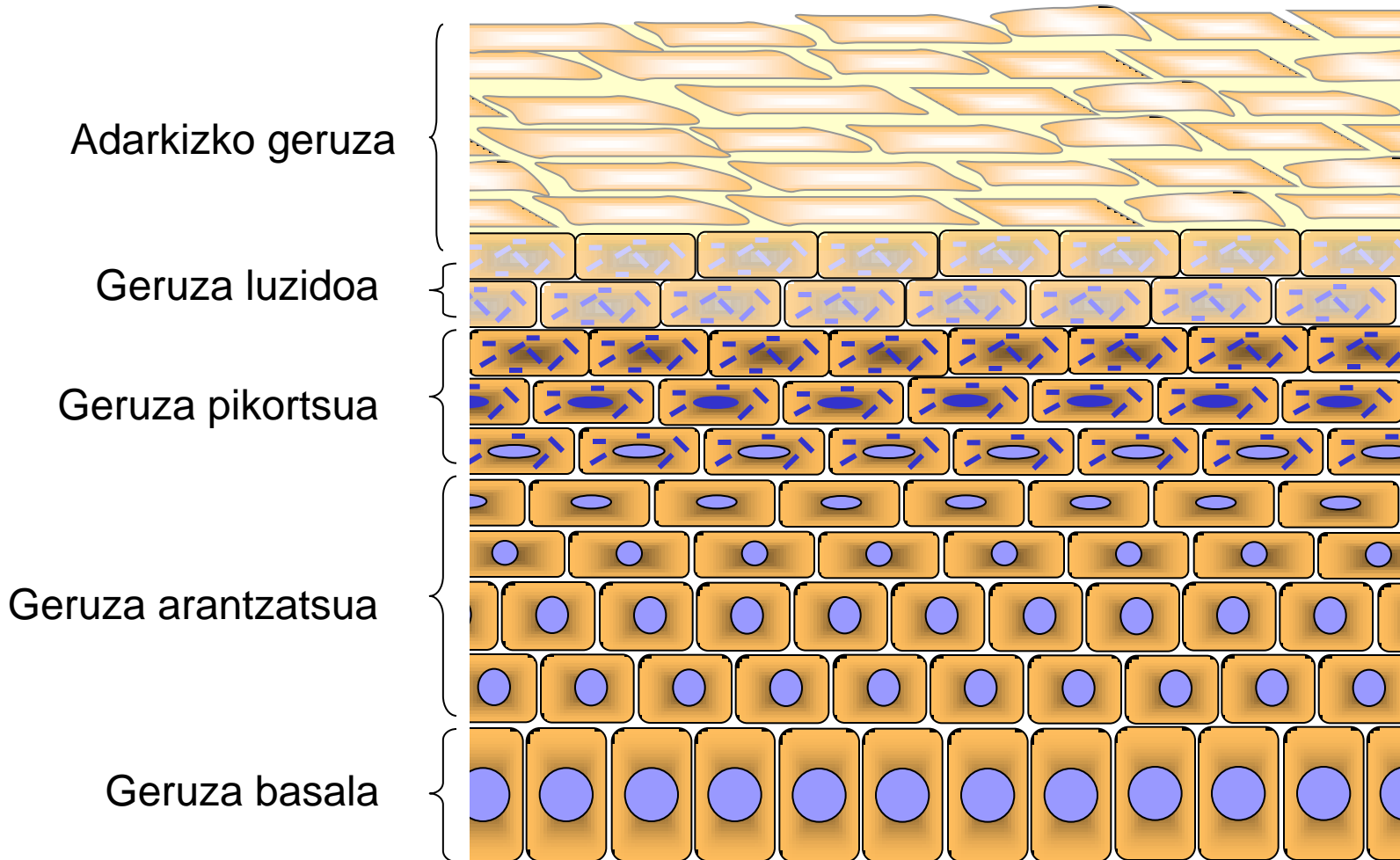
Azalaren egitura

1. EPIDERMISA
2. DERMISA
3. HIPODERMISA

Azalaren egitura



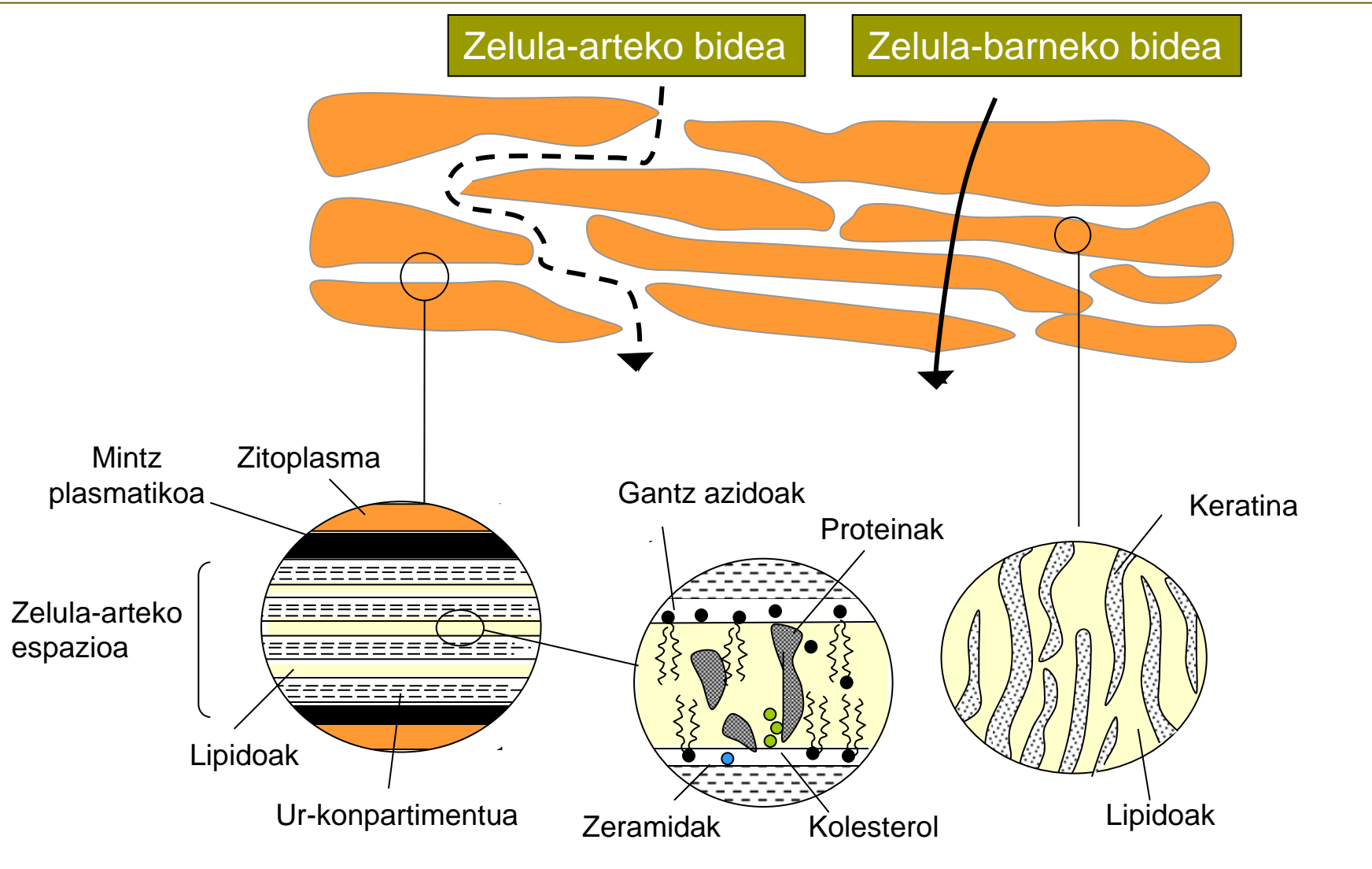
Azalaren egitura: epidermisa



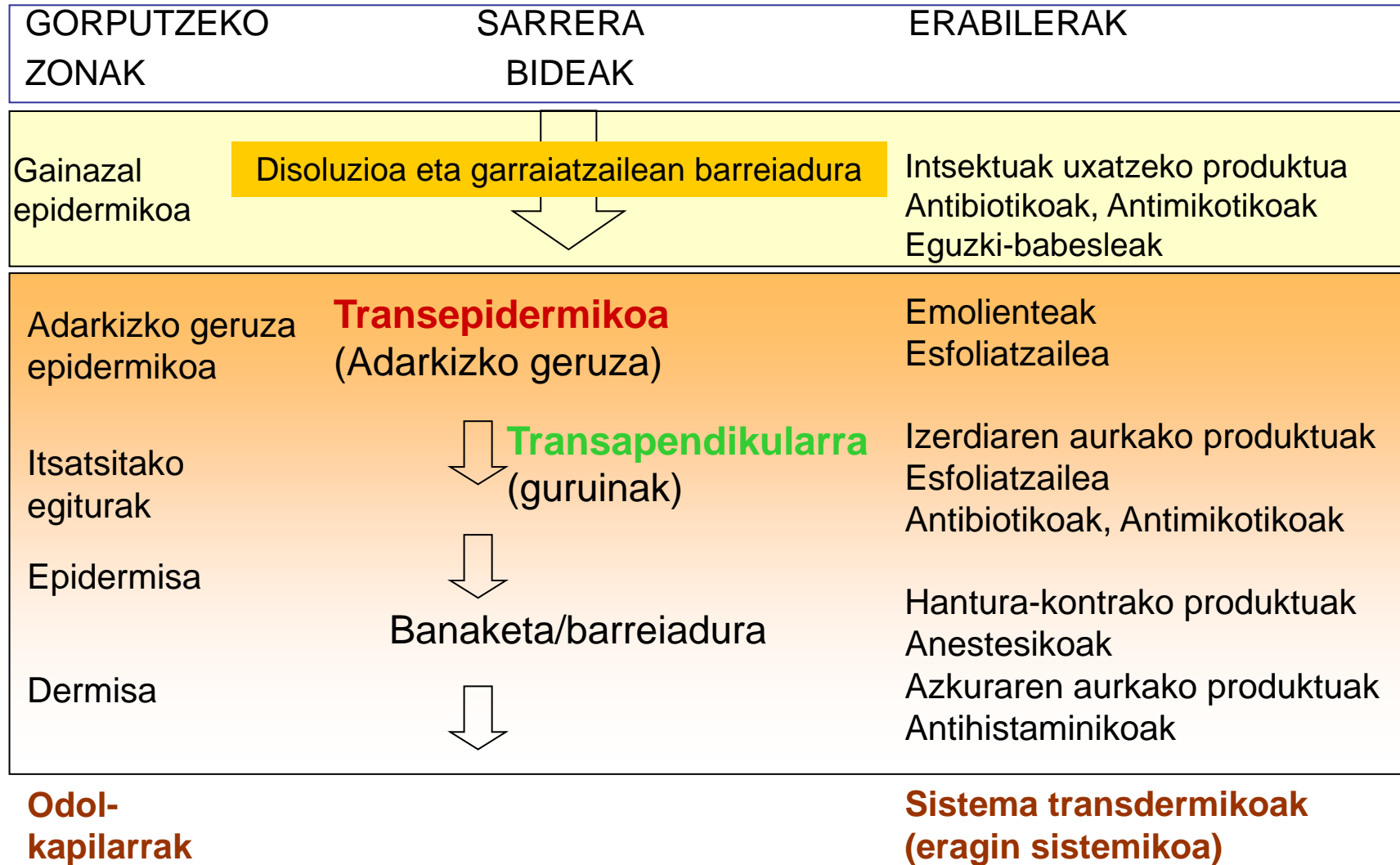
Azala zeharkatzeko bideak

1. Bide transepidermikoa:
 1. Zelula-arteko bidea
 2. Zelula-barneko bidea
2. Bide transapendikularra:
 1. Folikuluen arteko bidea
 2. Izerdi guruinen arteko bidea

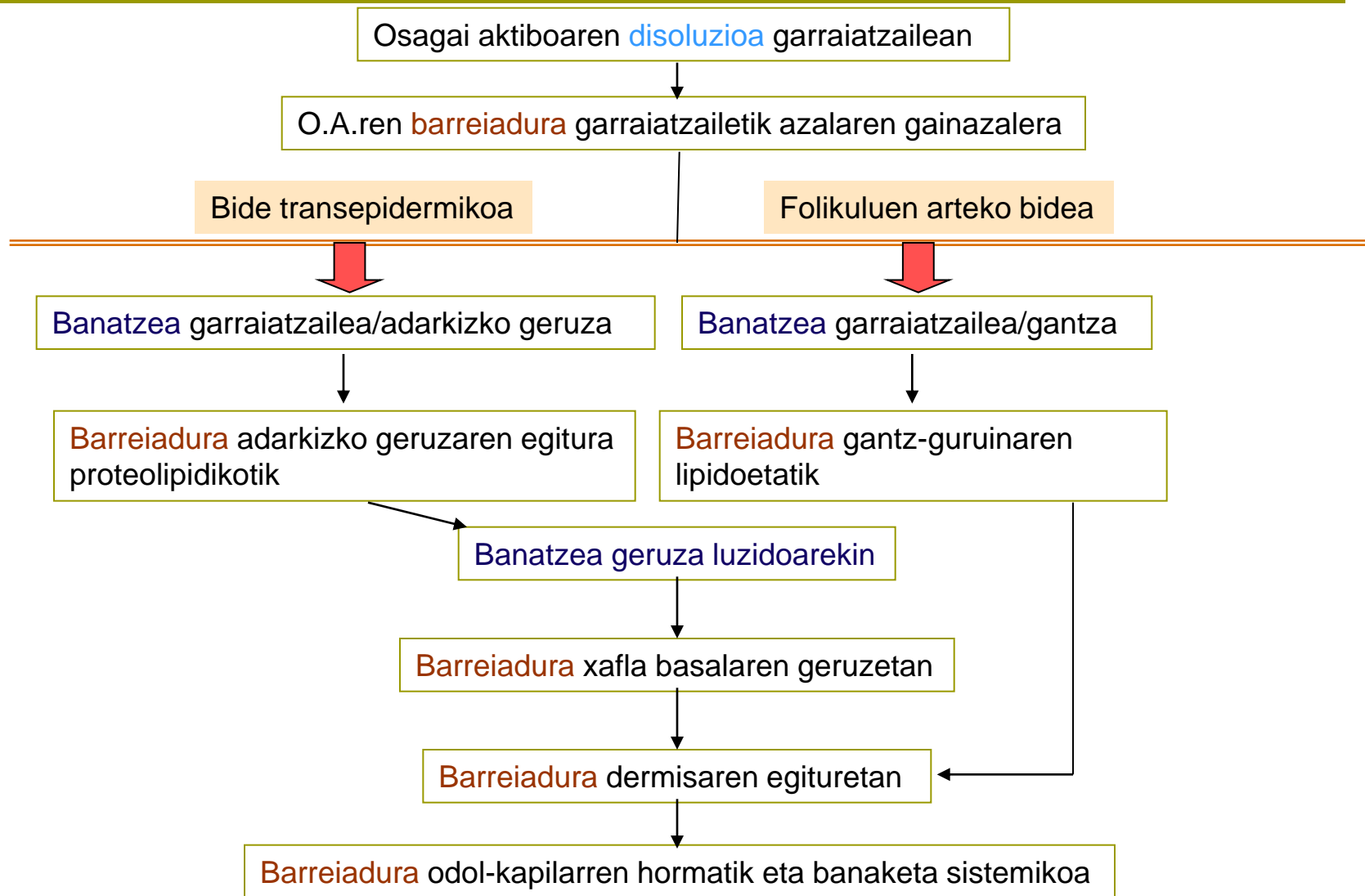
Azala zeharkatzeko bideak



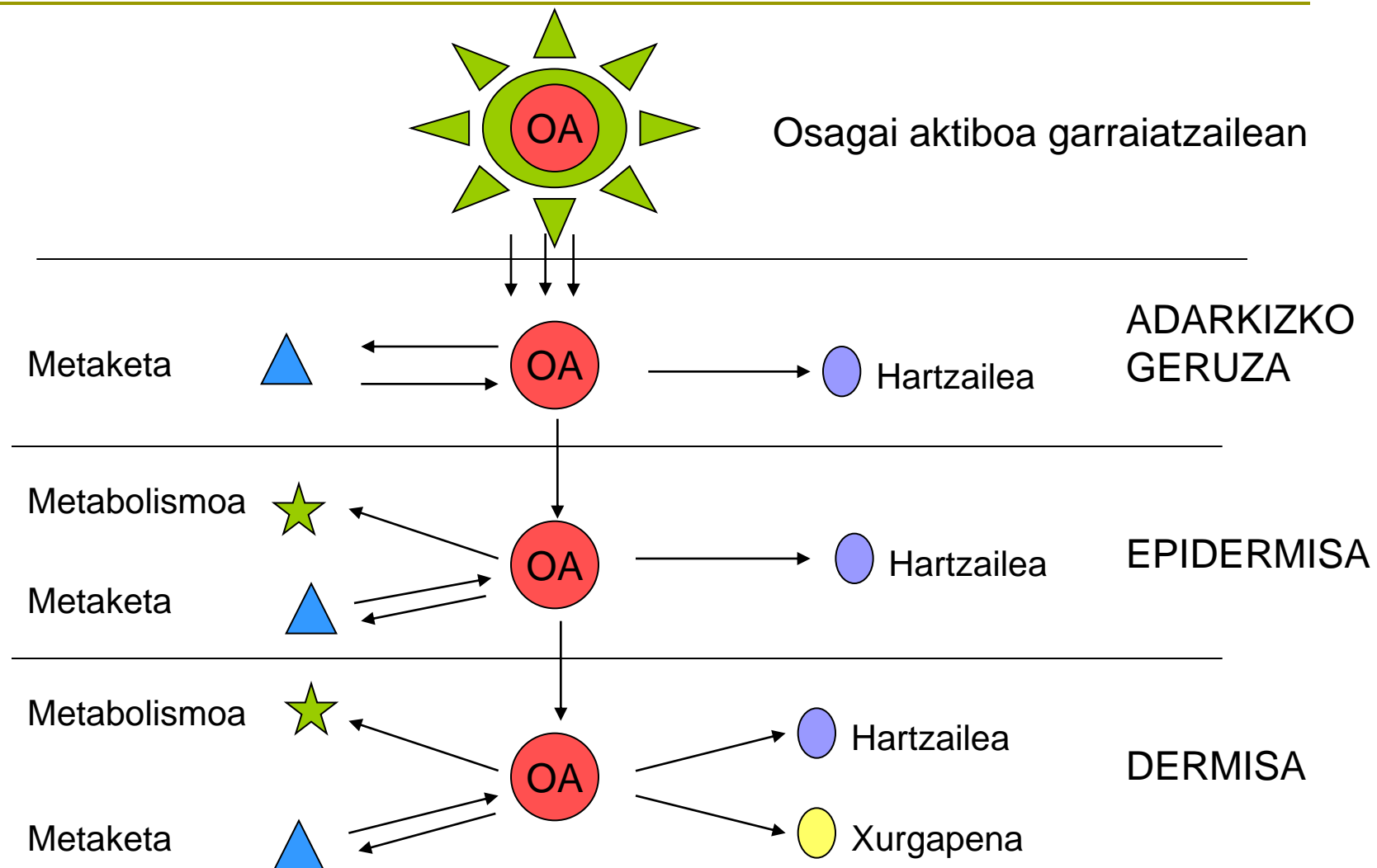
Azalean jarri ondoren farmakoak jasan ditzakeen prozesuak



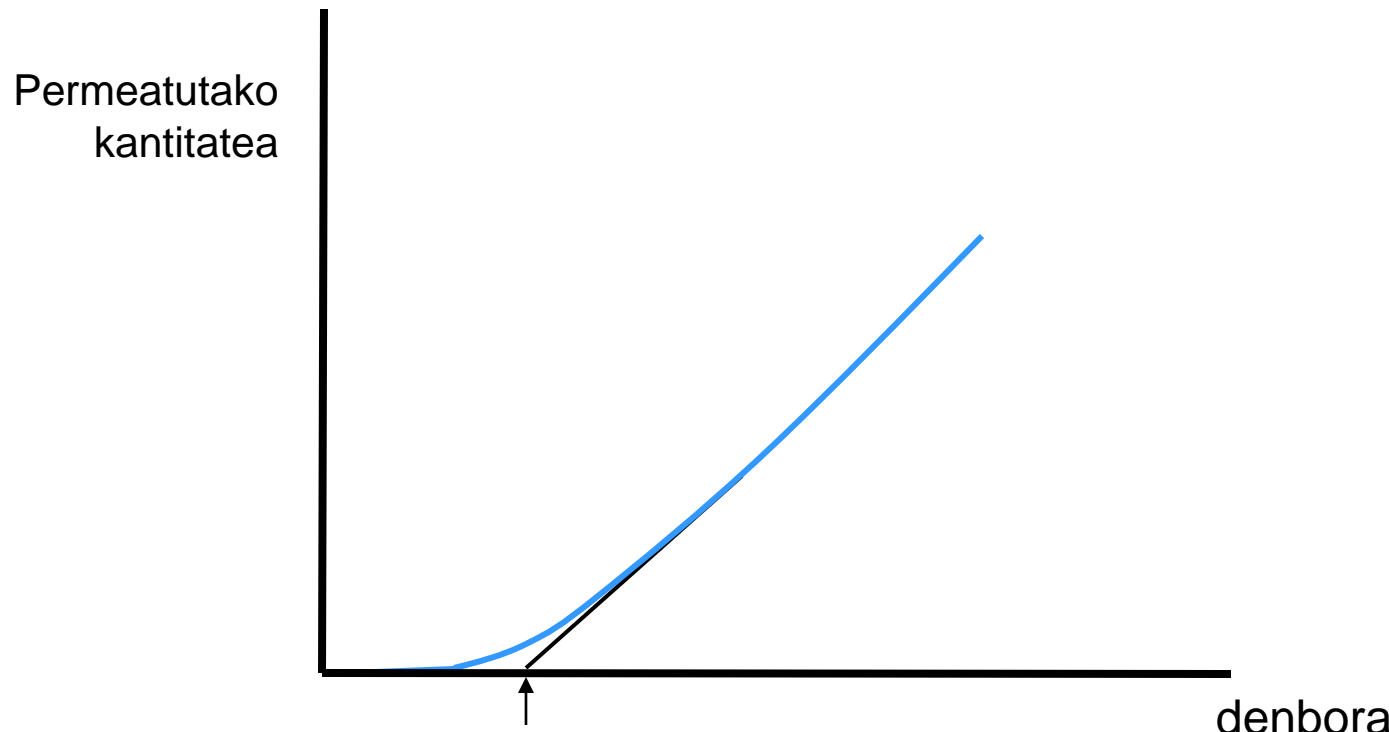
Azalean jarri ondoren farmakoak jasan ditzakeen prozesuak



Azalean administratutako farmakoen disposizio prozesuak



Azal-bidezko administrazioaren zinetika



Estrapolatutako atzerapen denbora
edo latentzia-denbora

Permeazio transdermiko profil baten irudikapen simulatua

Azal-bidezko administrazioaren zinetika

$$\frac{dQ}{dt} = K_p \cdot S \cdot (C_1 - C_2)$$

non:

dQ/dt = xurgatutako farmako kantitatea denbora unitateko

K_p = iragazkortasun konstantea

S = mintzaren azalera

$C_1 - C_2$ = mintzaren bi aldeen artean dagoen kontzentrazio gradientea

Azal-bidezko administrazioaren zinetika

$$K_p = K_c = K_{m,c} \frac{D_c}{e_c}$$

$K_{m,c}$: banatze koefizientea garaiatzalearen eta adarkizko geruzaren artean

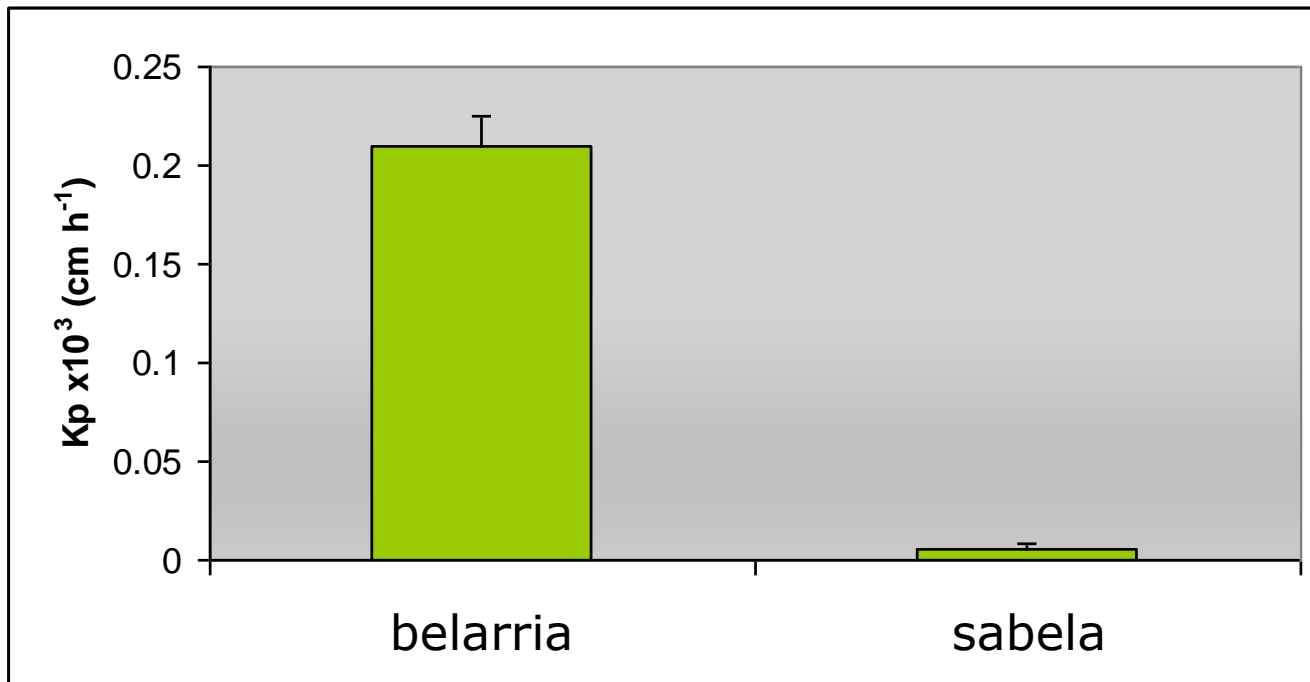
D_c : barrejadura konstantea

E_c : lodiera

Azal-bidezko xurgapena baldintzatzen duten faktoreak

1. Azalaren baldintzak:
 1. Azaleko zona
 2. Azalaren egoera
 3. Temperatura
 4. Adina
 5. Hidratazio egoera
 6. Animalia espeziea
2. Osagai aktiboaren ezaugarri fisiko-kimikoak :
 1. Banatze koefizientea
 2. Pisu molekularra
 3. Kontzentrazioa
 4. Partikula tamaina
 5. Polimorfismoa
3. Formulazioa:
 1. Biskositatea
 2. Lurrinkortasuna
 3. pH
 4. Eszipienteak

Azaleko zona



Diklofenakoren iragazkortasun koefizientea txerri azalean mikroemultsio bezala administratu ondoren

Azaleko zona

| Emate tokia | Xurgapen erlazioa |
|---------------------|-------------------|
| Besaurrea | 1 |
| Oinazpia | 0,14 x |
| Orkatila | 0,42 x |
| Esku-azpia | 0,83 x |
| Bizkarra | 1,7 x |
| Buru-azala | 3,5 x |
| Besapea | 3,6 x |
| Bekokia | 6 x |
| Masailezur angeluan | 13 x |
| Eskrotoa | 42 x |

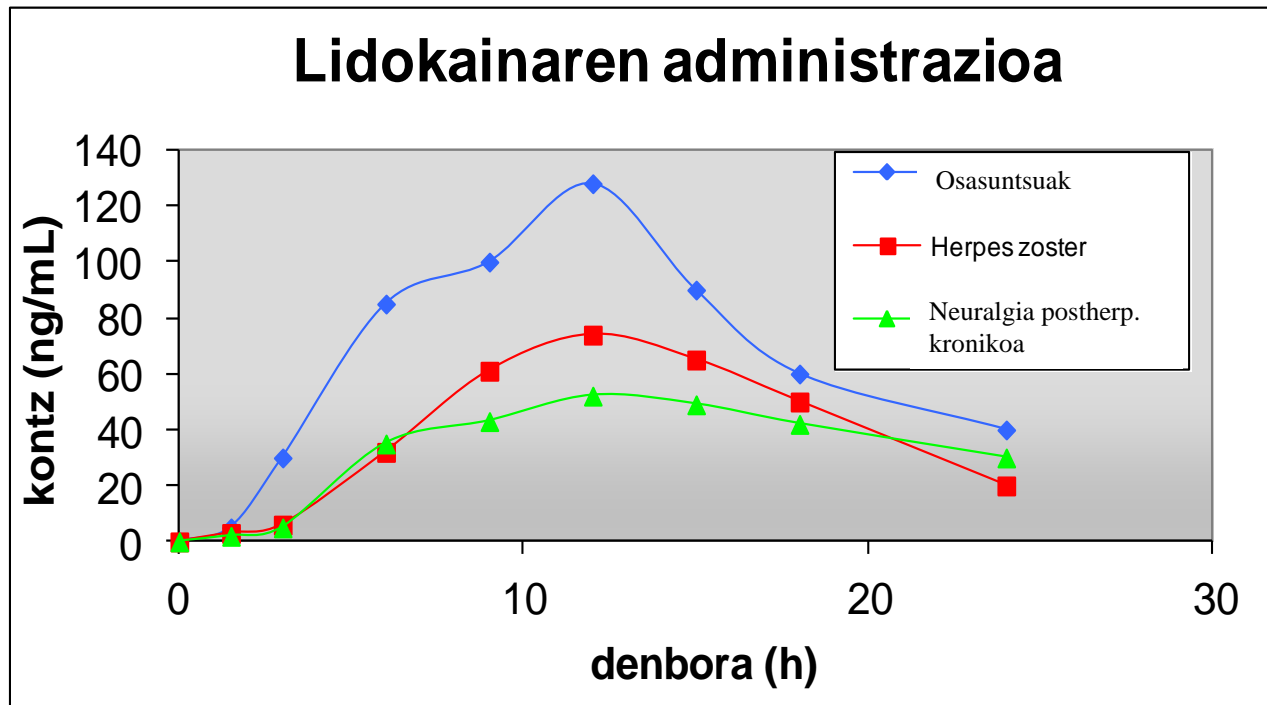
Azalaren eragina hidrokortisonaren xurgapenean gizakietan

Iturri honetatik aldatua: Fischer LB, Maibach HI. Arch Dermatol 1971;103:39-44

Azaleko zona

- Zonaren arabera ezberdintasunak azaltzen dituzten faktoreak:
 1. Adarkizko geruzaren loditasuna
 2. Hidratazio maila
 3. Konposizio lipidikoan ezberdintasunak
 4. Baskularizazio maila

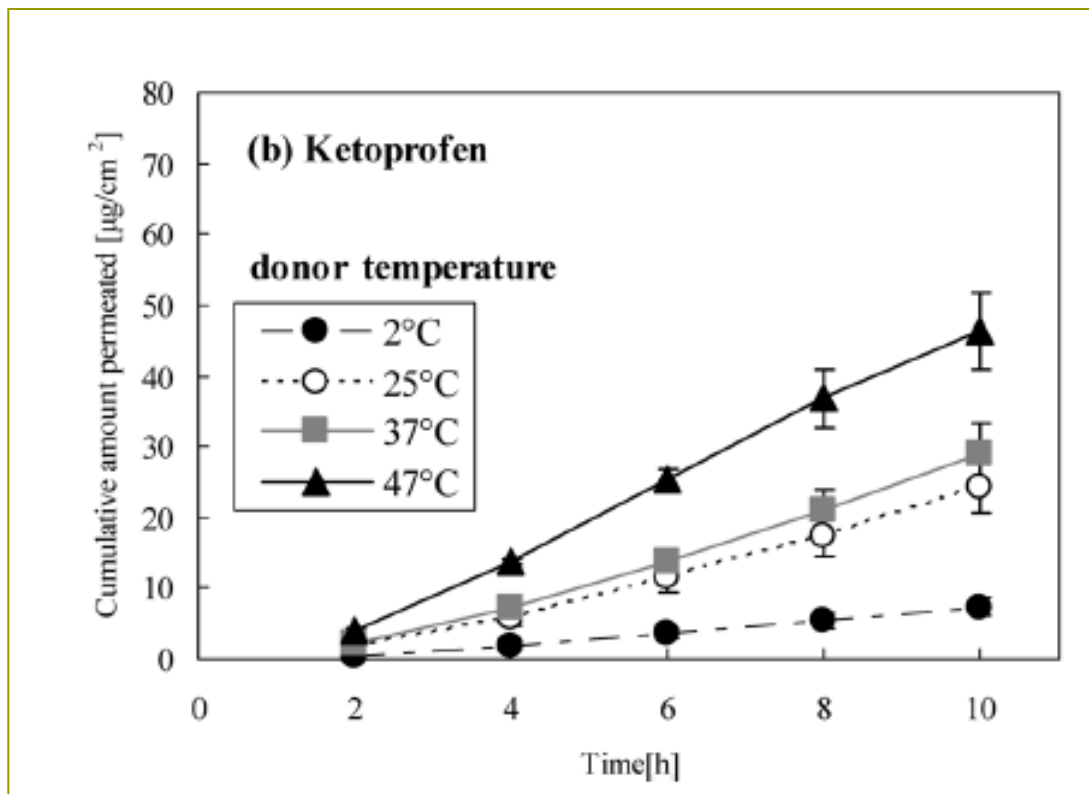
Azalaren egoera



Lidokainaren kontzentrazio plasmatikoak partxetan administratu ondoren
boluntario osasuntsuei, *Herpes zoster* duten gaixoei eta neuralgia
postherpetiko kronikoa duten gaixoei

Iturri honetatik aldatua: Campbell BJ, Rowbotham M, Davies PS, Jacob P,
Benowitz NL. J Pharm Sci 2002;91:1343-50

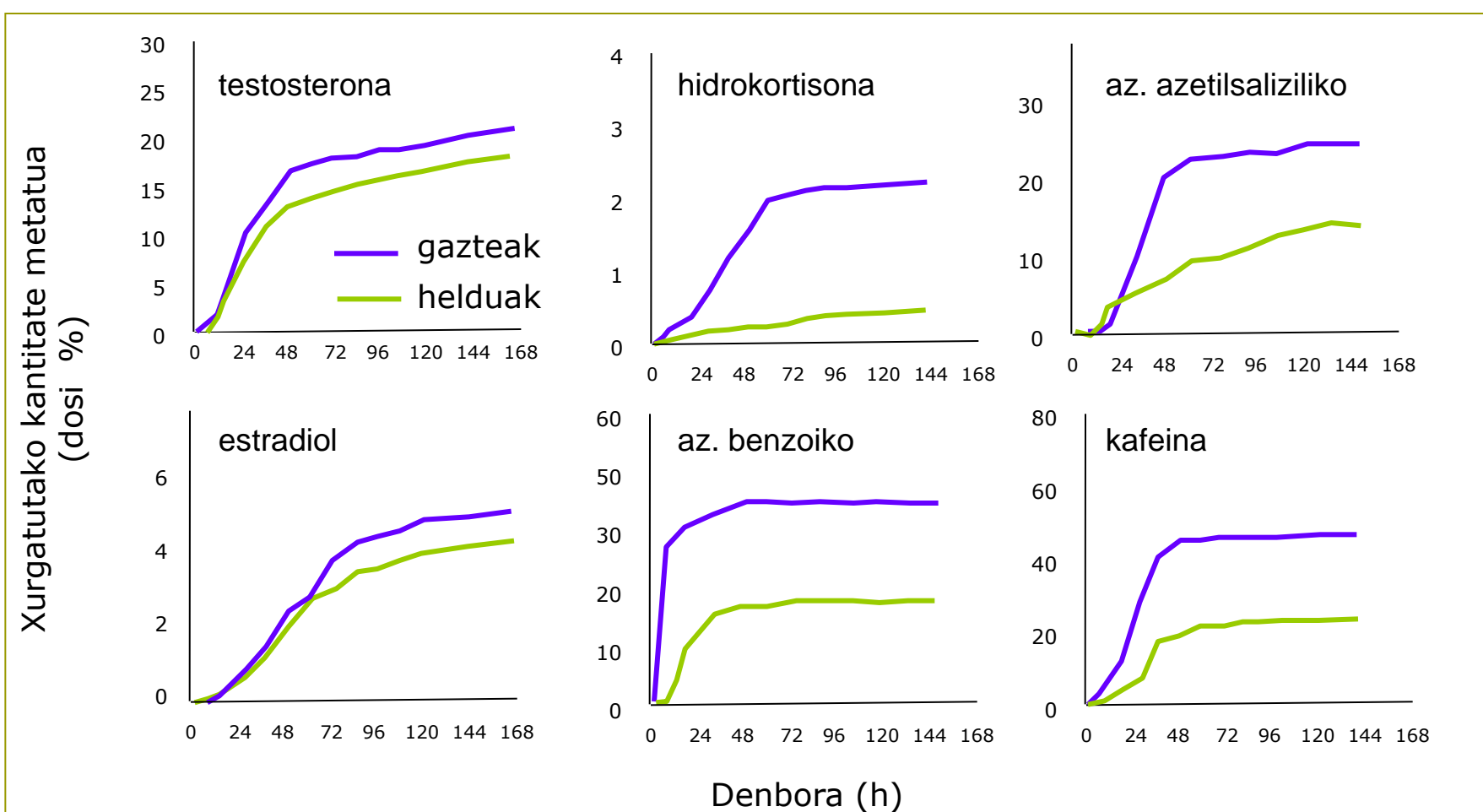
Tenperatura



Ketoprofenoren barneratze profila azaleko adarkizko geruzan tenperatura ezberdinietan

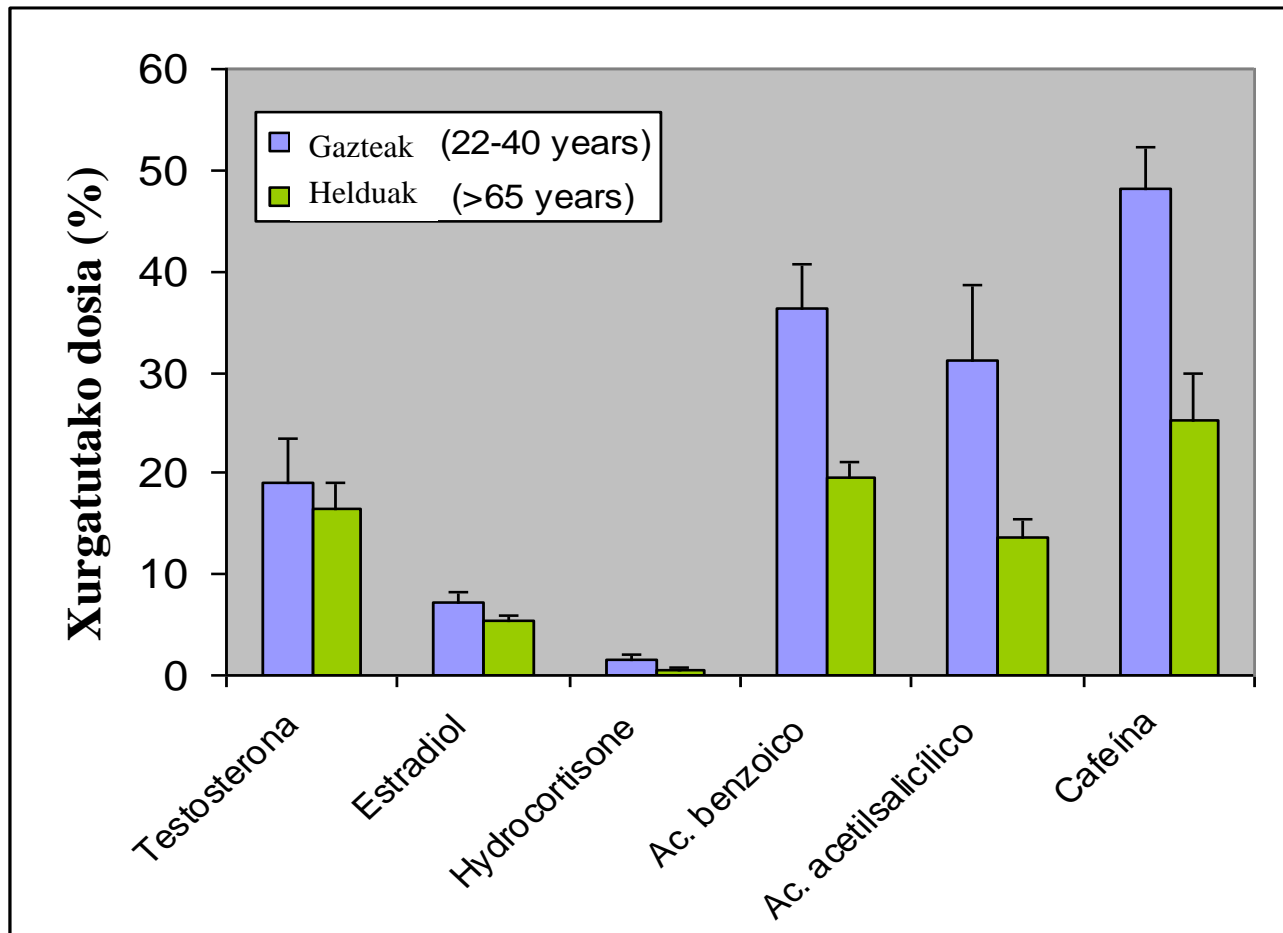
Tominaga K, Tojo K. Biol Pharm Bull 2010;33:1983-1987

Adina



Iturri honetatik aldatua: Roskos KV, Maibach HI, Guy RH. J Pharmacokin Biopharm 1989;17:617-663

Adina

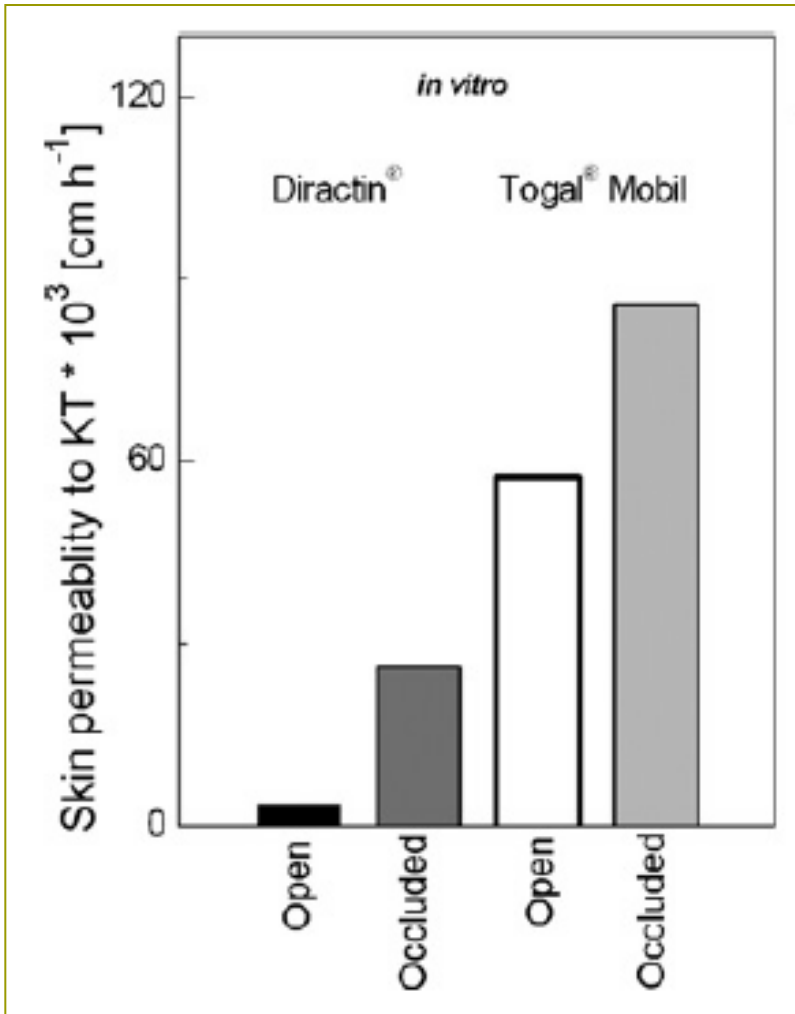


Iturri honetatik aldatua: Konda S, Meier-Davis SR, Cayme B, Shudo J, Maibach HI. Skin Ther Let 2012; 17: 5-7

Adina

- Adarkizko geruzaren lehortasuna
- Gatz-guruinen aktibitatearen murrizketa, gainazaleko lipido kantitatea gutxituz
- Zelulen arteko loturen aldaketak
- Azaleko kapilarren atrofia, odol fluxuaren etengabeko murrizketa eragiten duena

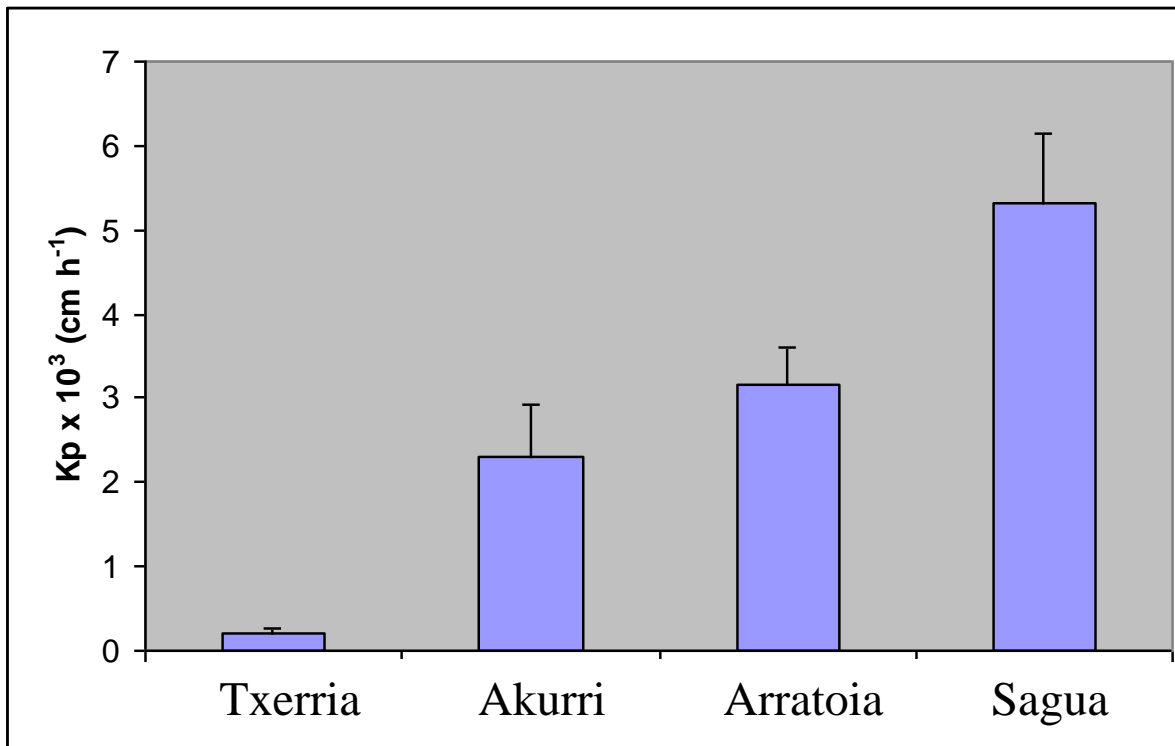
Hidratazio maila



Ketoprofenoren iragazkortasuna bi formulazio komertzial giza-azalean administratu ondoren baldintza normaletan edo prestakina estaliz

Cevc G, Mazgareanu S, Rother M, Vierl U.
Int J Pharmaceut 2008;359:190-197

Espeziaren eragina



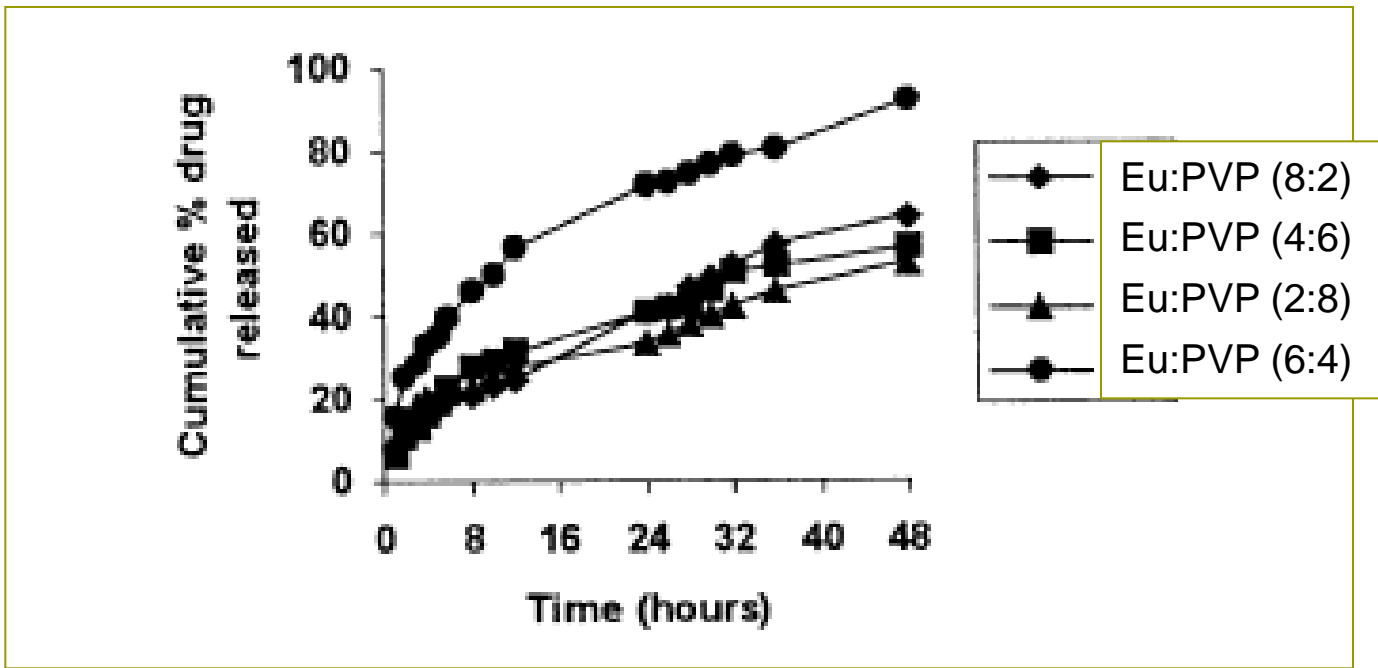
Diklofenakoren iragazkortasuna animalia espezie ezberdinetan sabelaldean mikroemultsio moduan administratzen denean

Iturri honetatik aldatua: Sintov AC, Botner S. Int J Pharmaceut 2006;31:55–62

Azal-bidezko xurgapena baldintzatzen duten faktoreak

1. Azalaren baldintzak:
 1. Azaleko zona
 2. Azalaren egoera
 3. Temperatura
 4. Adina
 5. Hidratazio egoera
 6. Animalia espeziea
2. Osagai aktiboaren ezaugarri fisiko-kimikoak :
 1. Banatze koefizientea
 2. Pisu molekularra
 3. Kontzentrazioa
 4. Partikula tamaina
 5. Polimorfismoa
3. Formulazioa:
 1. Biskositatea
 2. Lurrinkortasuna
 3. pH
 4. Eszipienteak

Formulazioaren eragina



Pinazidiloren askapen profilak in vitro, Eudragit eta PVP (polivinilpirrolidona) eduki ezberdina duten 4 sistema transdermiko erabili ostean

Iturri honetatik aldatua: Aqil M, Ali A. Eur J Pharm Biopharm 2002;54:161-164

Formulazioaren eragina

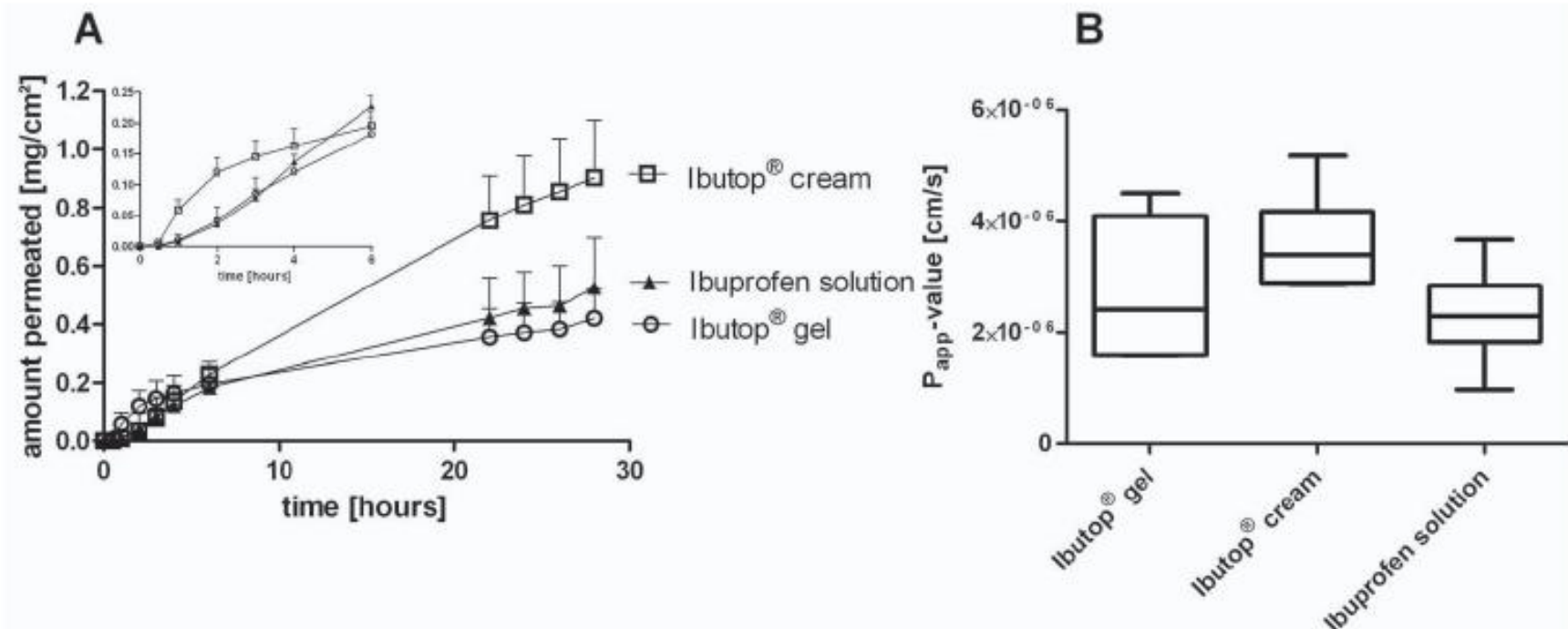


Figure 1 Skin permeation of ibuprofen. A: Ibuprofen permeation of bovine udder skin samples *in vitro* following application of topical formulations containing ibuprofen 5% (mean + standard deviation) and B: the obtained apparent permeability coefficients (boxplots with minimum and maximum; n = 5-6).

Formulazio topikoak eta transdermikoak aztertzeko metodoak

FORMULAZIO TRANSDERMICOAK

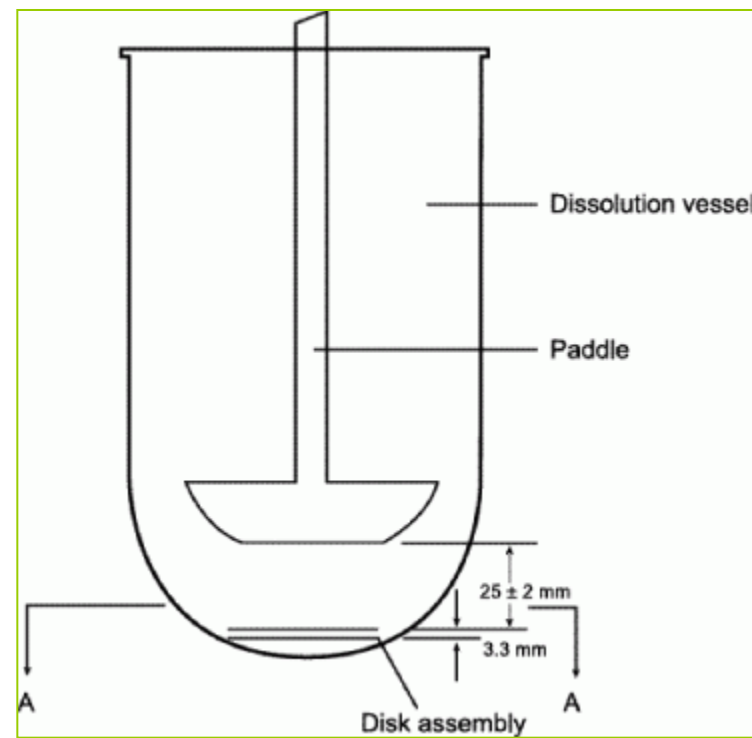
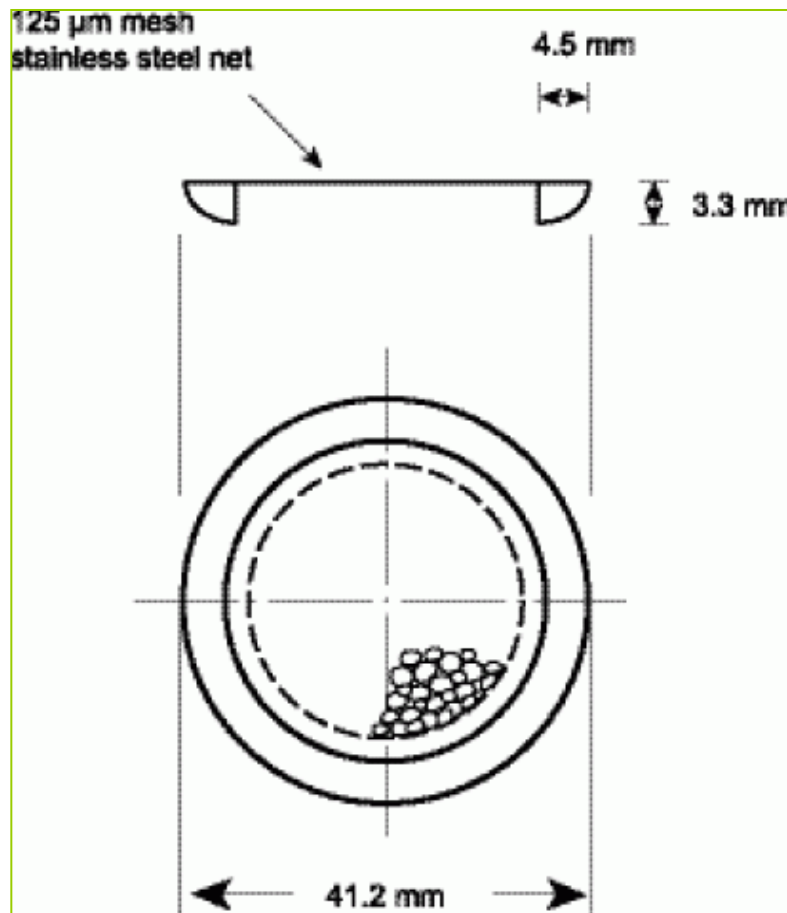
1. **In vitro**: disoluzio saioak (paletaduna):
 1. Diskoaren metodoa
 2. Gelaxkaren metodoa
 3. Zilindro birakorraren metodoa
2. **In vivo** (animaliak edo gizakiak):
 1. Odol, gernu,... kontzentrazioen neurketa
 2. Eragin farmakologikoaren neurketa

FORMULAZIO TOPIKOAK

1. **In vitro**: disoluzio saioak (Franz motako barrejadura ganberak):
 1. Bertikalak
 2. Horizontalak
2. **In vivo**:
 1. Eragin farmakologikoaren neurketa (hodi-uzkurdura, hodi-zabalkuntza, hantura-aurkako eragina,..)
 2. Dermatofarmakozinetika
 3. Mikrodialisia
 4. Kontrolpeko ikerkuntza klinikoak: aknearen aurkako tratamenduak, antifungikoak

Askapen-sistema transdermikoak

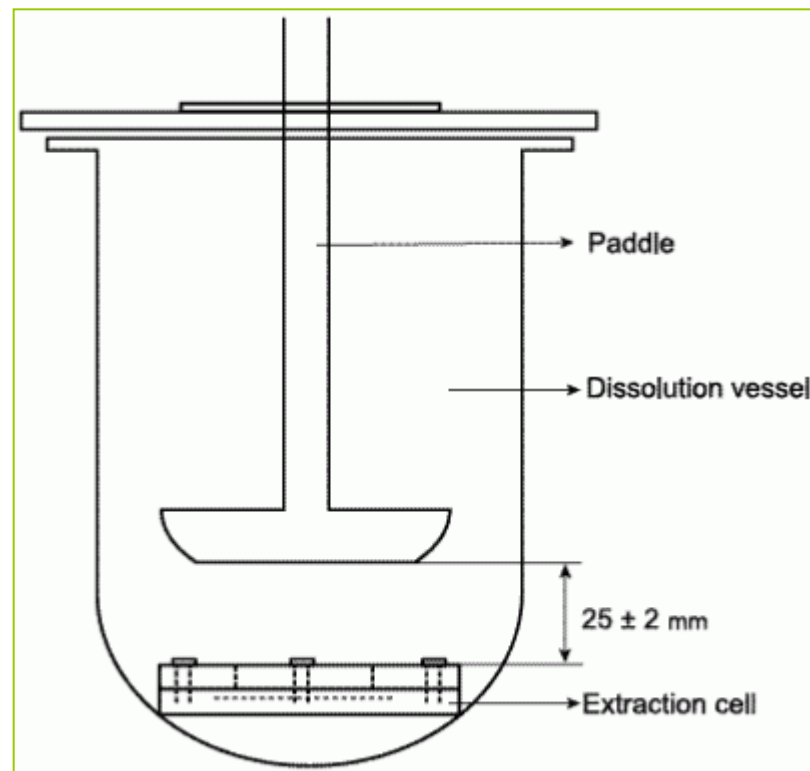
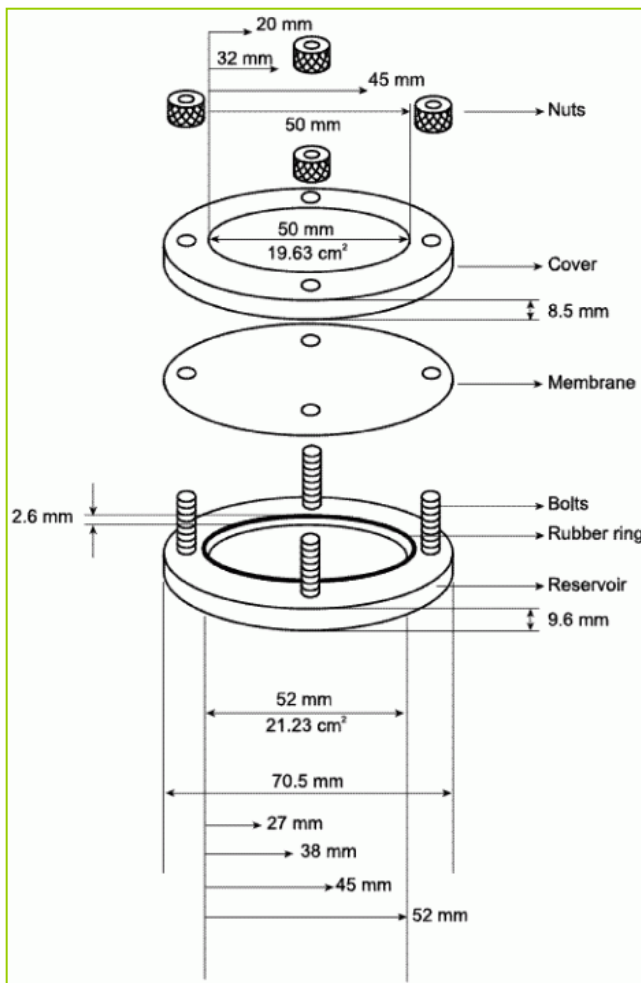
Diskoaren metodoa



Europako Farmakopea 7.8

Askapen-sistema transdermikoak

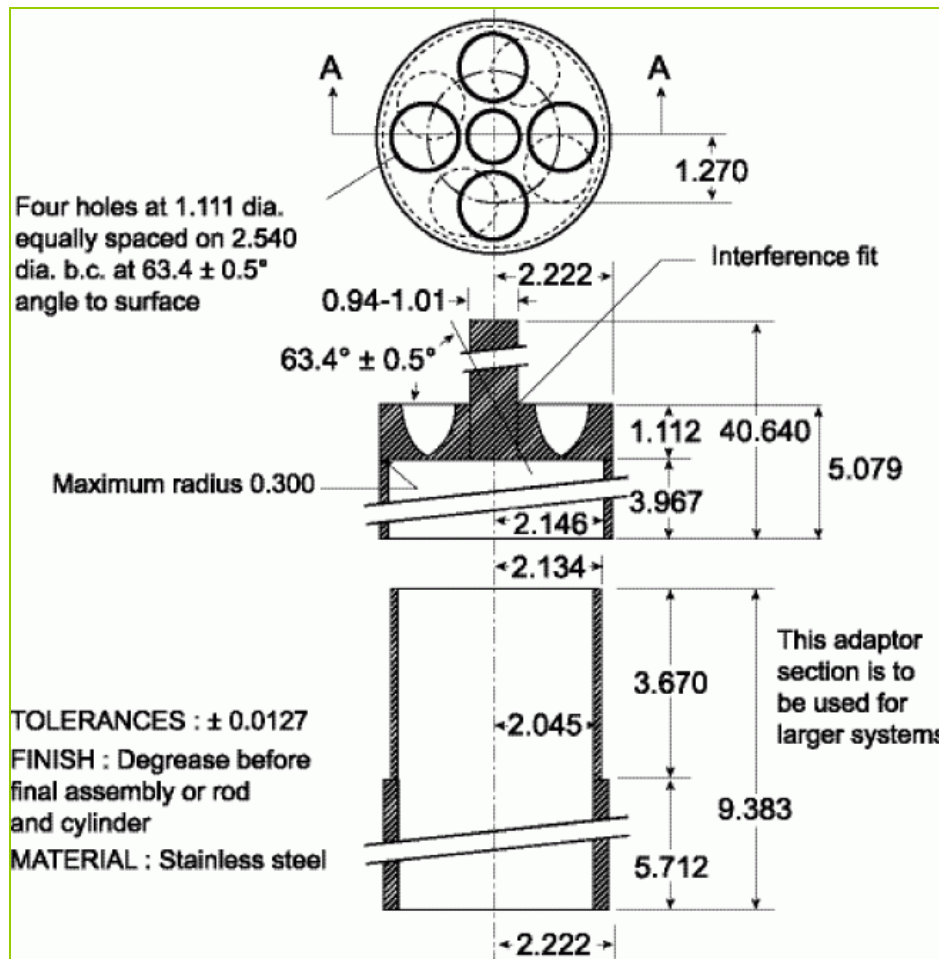
Gelaxkaren metodoa



Europako Farmakopea 7.8

Askapen-sistema transdermikoak

Zilindro birakorraren metodoa



Europako Farmakopea 7.8

Formulazio topikoak eta transdermikoak aztertzeko metodoak

FORMULAZIO TRANSDERMICOAK

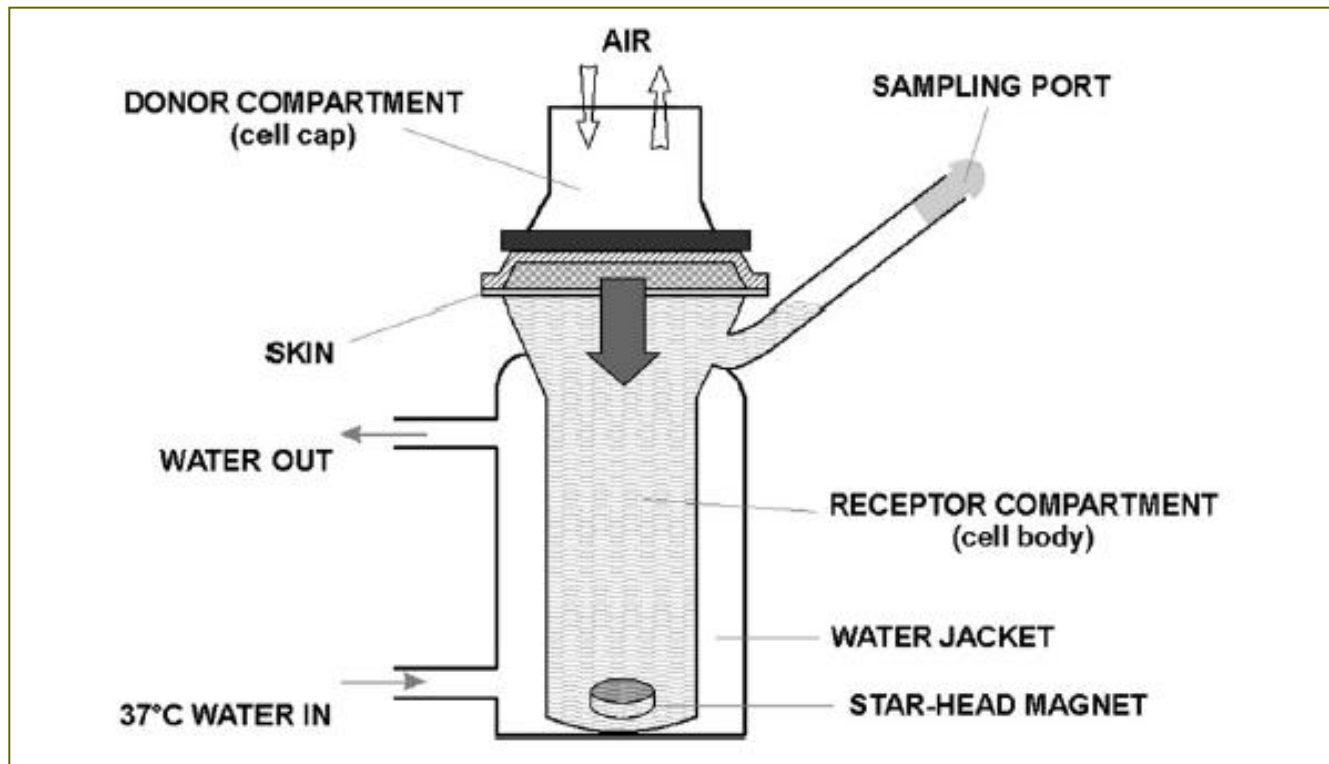
1. **In vitro**: disoluzio saioak (paletaduna):
 1. Diskoaren metodoa
 2. Gelaxkaren metodoa
 3. Zilindro birakorraren metodoa
2. **In vivo** (animaliak edo gizakiak):
 1. Odol, gernu,... kontzentrazioen neurketa
 2. Eragin farmakologikoaren neurketa

FORMULAZIO TOPIKOAK

1. **In vitro**: disoluzio saioak (Franz motako barrejadura ganberak):
 1. Bertikalak
 2. Horizontalak
2. **In vivo**:
 1. Eragin farmakologikoaren neurketa (hodi-uzkurdura, hodi-zabalkuntza, hantura-aurkako eragina,..)
 2. Dermatofarmakozinetika
 3. Mikrodialisia
 4. Kontrolpeko ikerkuntza klinikoak: aknearen aurkako tratamenduak, antifungikoak

Produktu topikoen ebaluazioa

Barrejadura saioak azalean

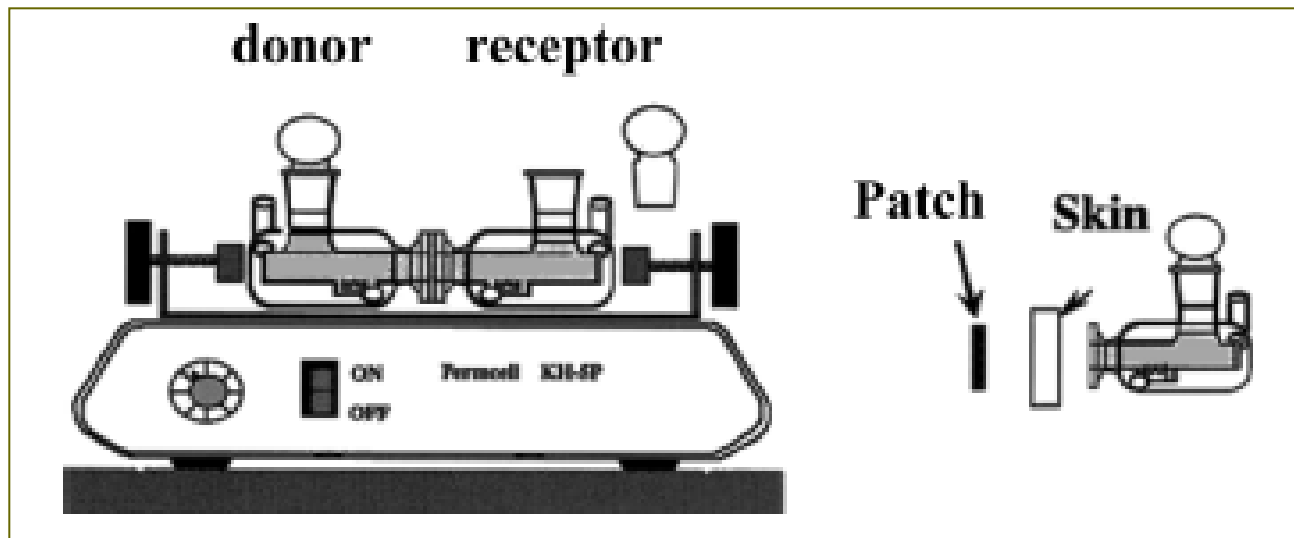


Franz motako barrejadura gelaxka

Bonina FP, Giannossi ML, Medici L, Puglia C, Summa V, Tateo F.
Appl Clay Sci 2008;41:165-171

Produktu topikoen ebaluazioa

Barrejadura saioak azalean

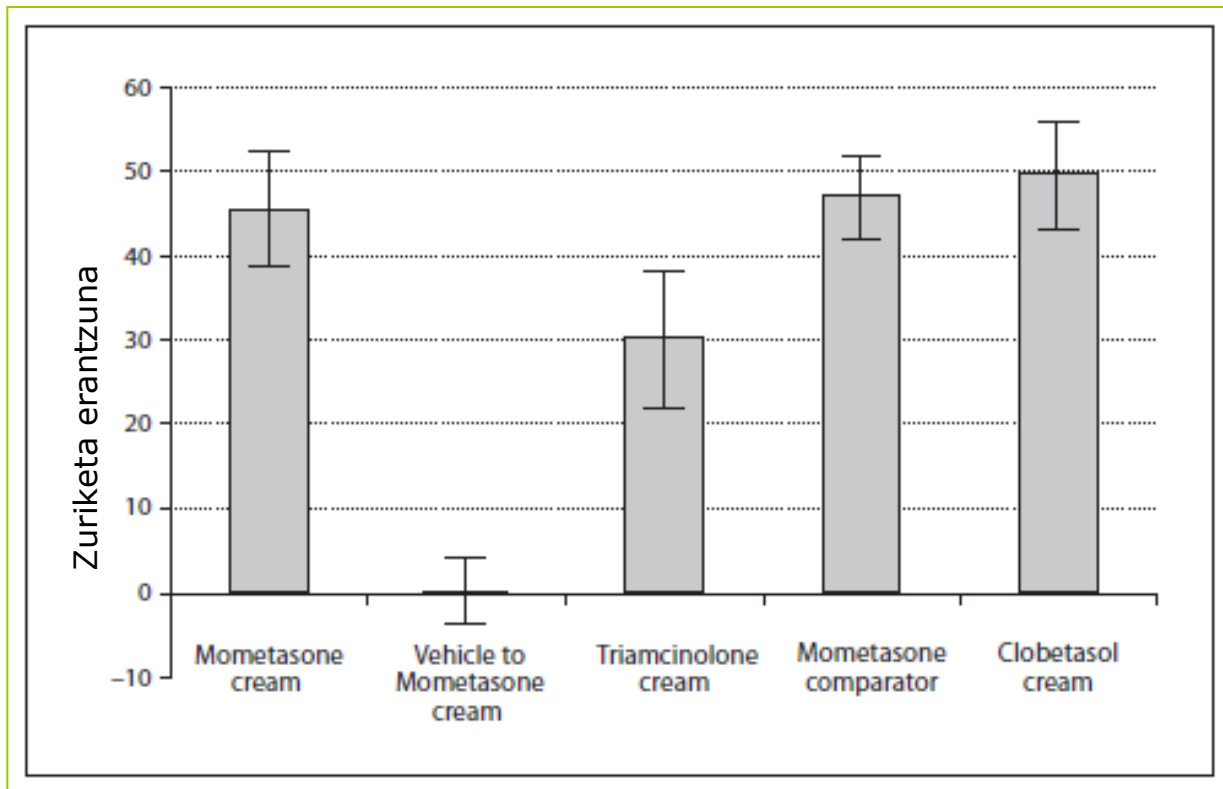


Azalean permeazioa aztertzeko ekipoa

Tominaga K, Tojo K. Biol Pharm Bull 2010;33:1983-1987

Produktu topikoen ebaluazioa: Eragin farmakologikoaren ebaluazioa

Kortikoideen eragin hodi-uzkurtzailearen ondorioz azalaren zuriketa

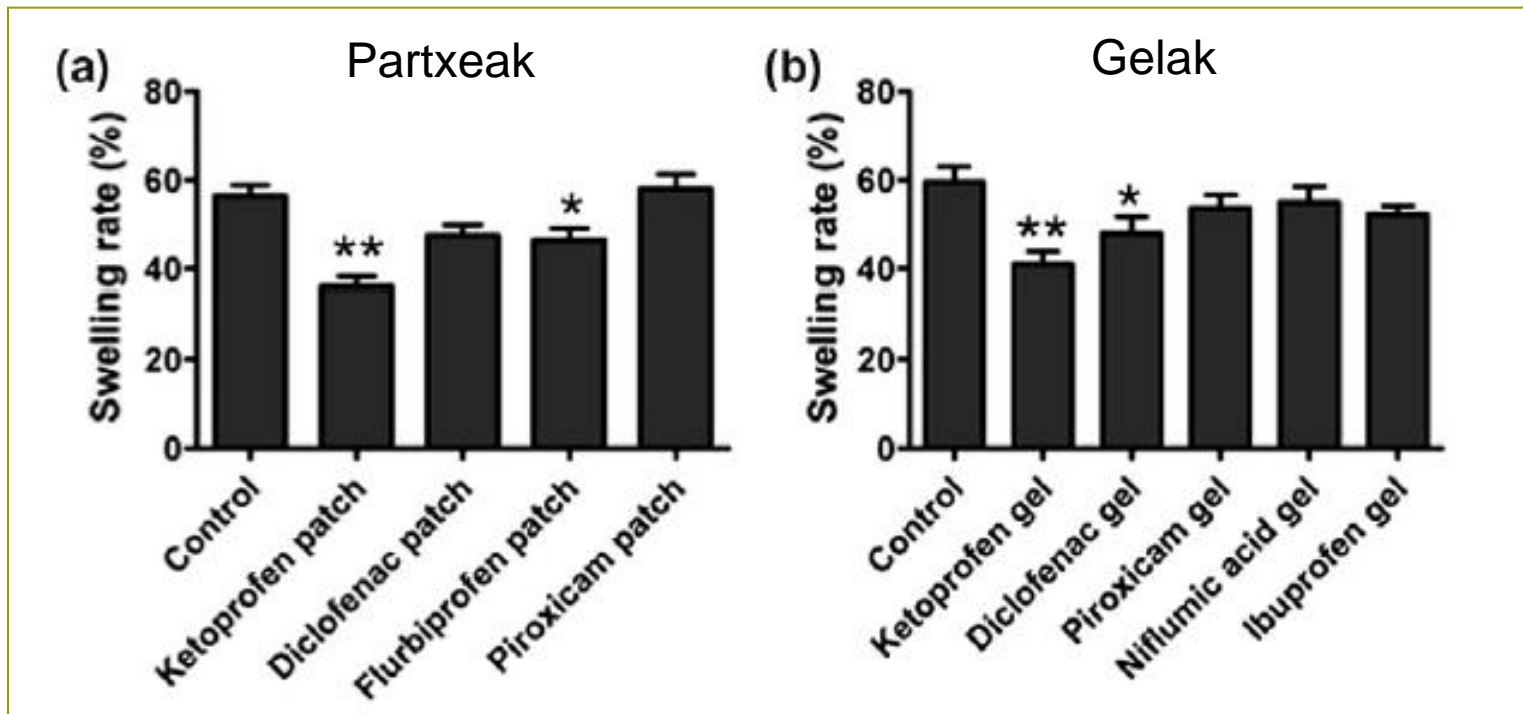


Kortikoide ezberdinek
eragindako zuriketa

Iturri honetatik aldatua: Korting HC, Schöllmann C, Willers C, Wigger-Alberti W. Skin Pharmacol Physiol 2012;25:133-141

Produktu topikoen ebaluazioa: Eragin farmakologikoaren ebaluazioa

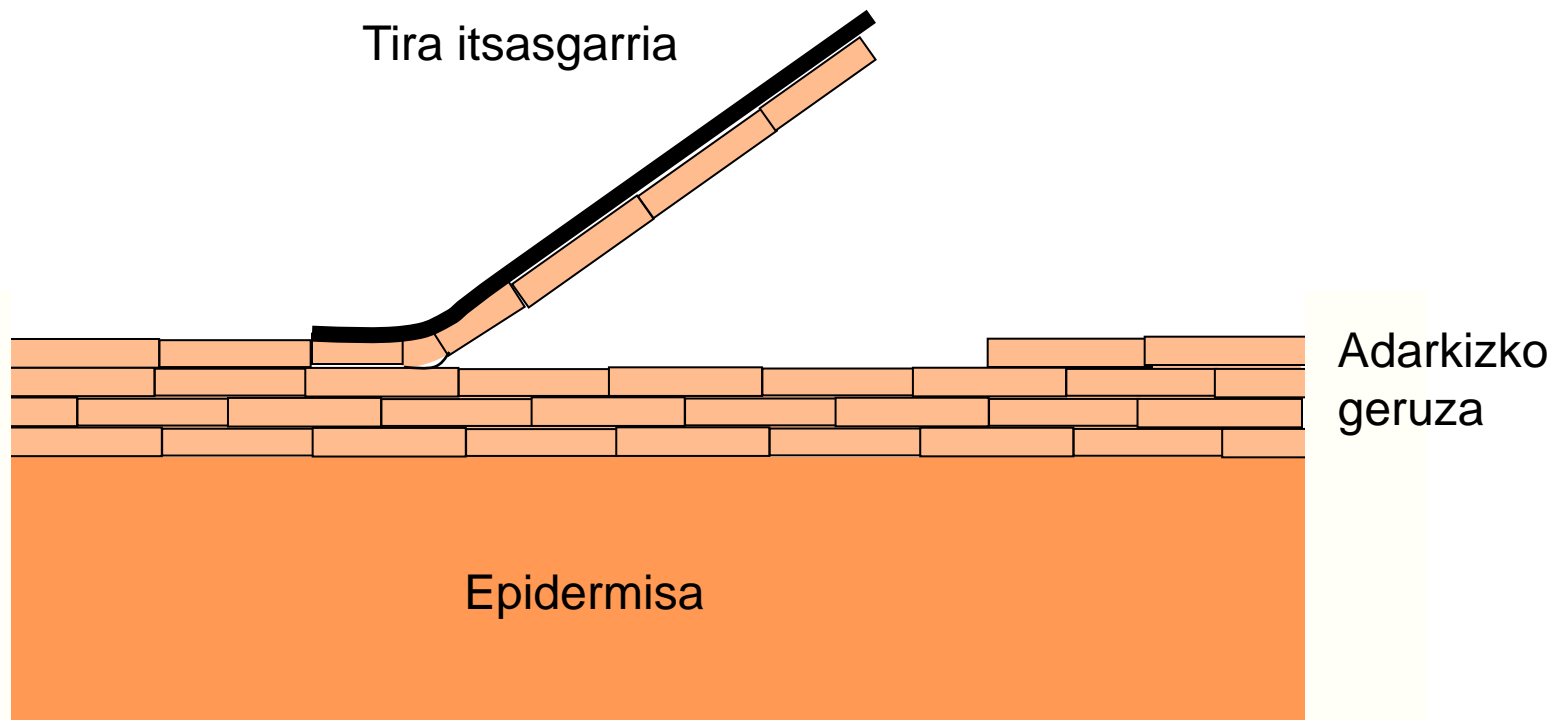
Hantura-kontrako erantzuna



Antiinflamatorio ez-esteroideo ezberdinen hantura-aurkako erantzuna. Arratoi animalia eredua (*: ezberdintasunak estatistikoki esanguratsuak).

Produktu topikoen ebaluazioa: Dermatofarmakozinetika

Farmakoaren kontzentrazioa adarkizko geruzaren



Produktu topikoen ebaluazioa: Dermatofarmakozinetika

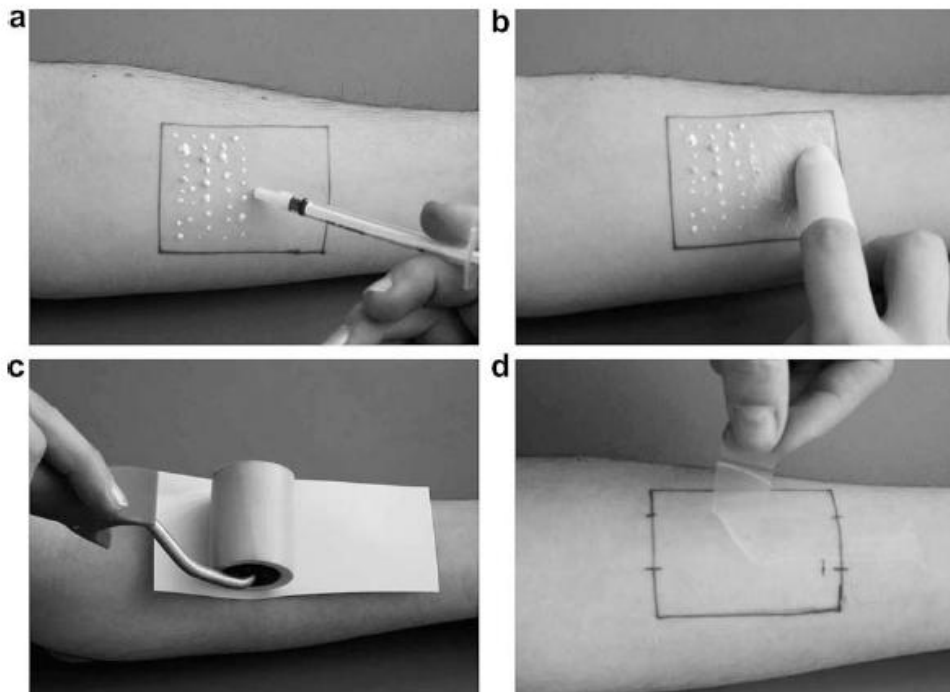
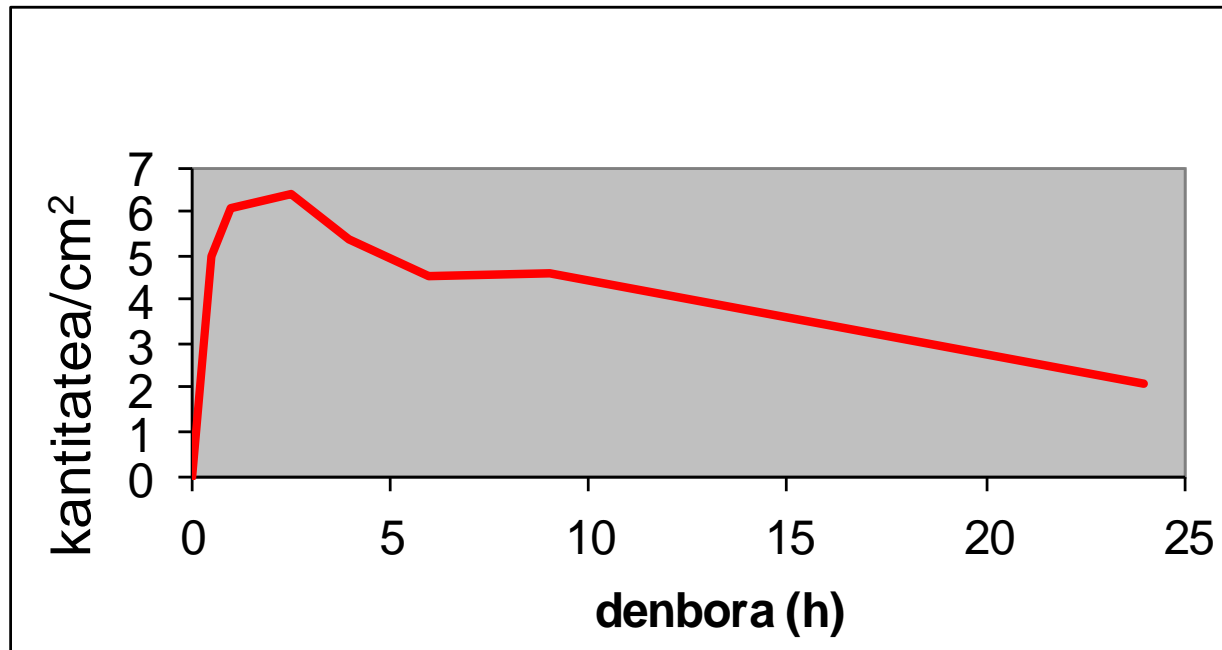


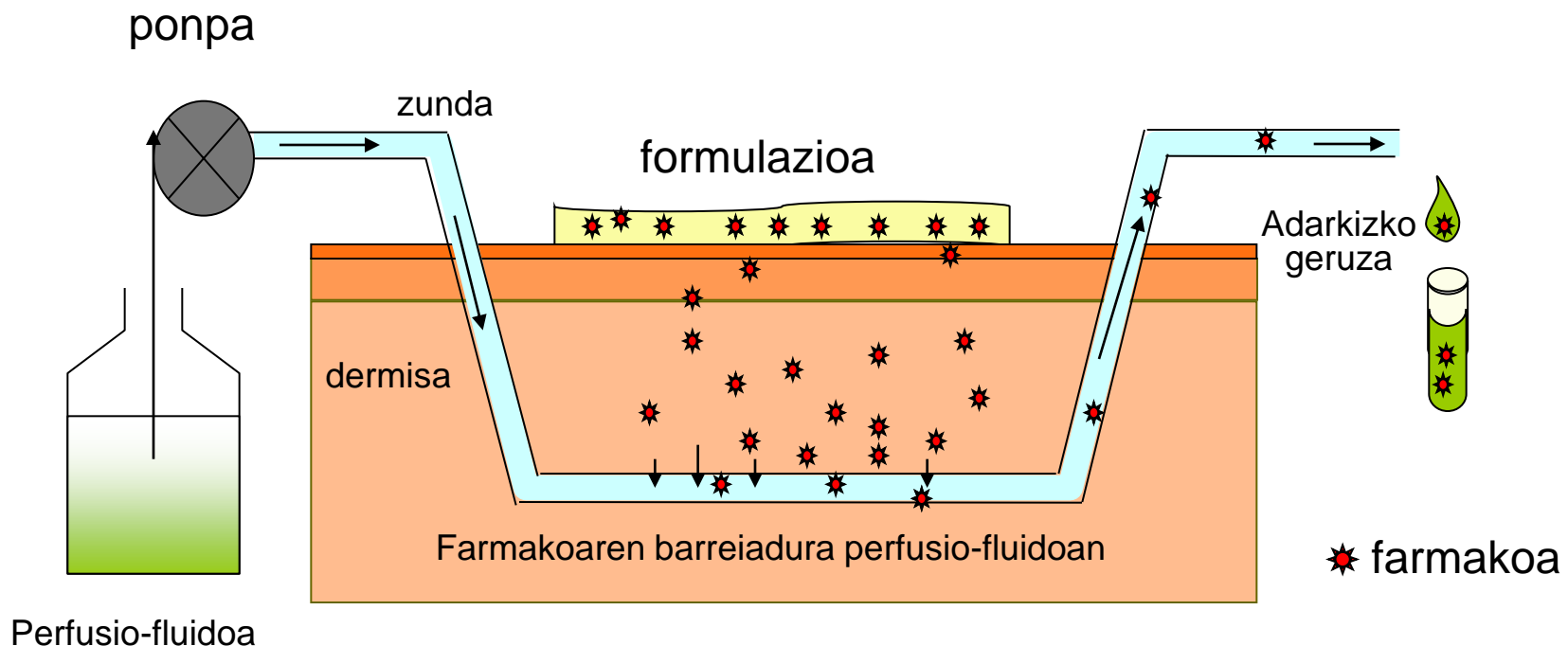
Fig. 1. Method of tape stripping (a) application of the formulation on a marked skin area; (b) homogeneous distribution; (c) the adhesive tape is pressed with a roller on the skin, an empty sheet of paper avoids the transfer of the formulation onto the back side of the tape; (d) removal of the tape.

*Lademann J, Jacobi U, Surber C, Weigmann HJ, Fluhr JW.
Eur J Pharm Biopharm 2009;72:317-323*

Produktu topikoen ebaluazioa: Dermatofarmakozinetika



Produktu topikoen ebaluazioa: Mikrodialisia



Produktu topikoen ebaluazioa: Mikrodialisia

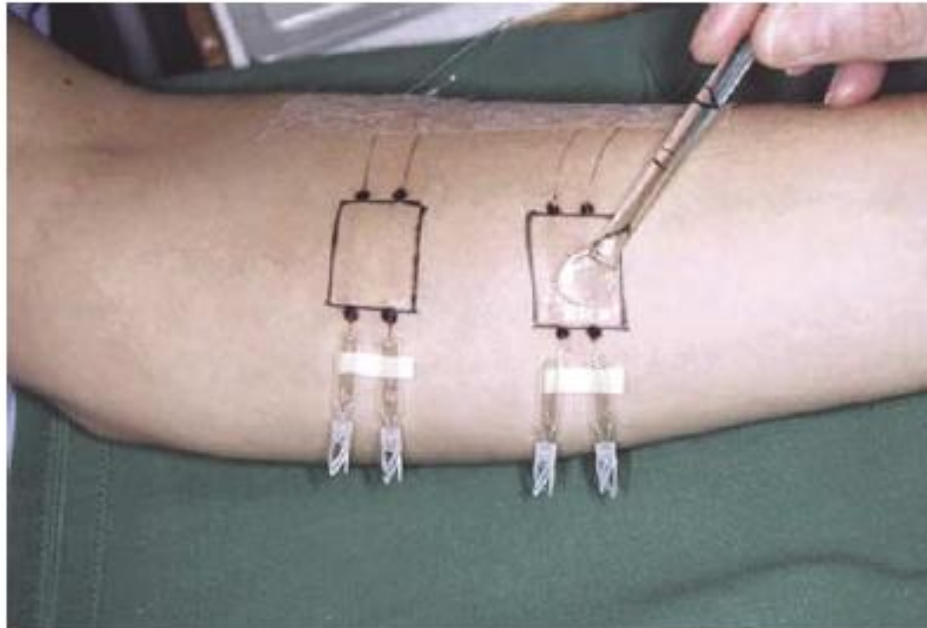
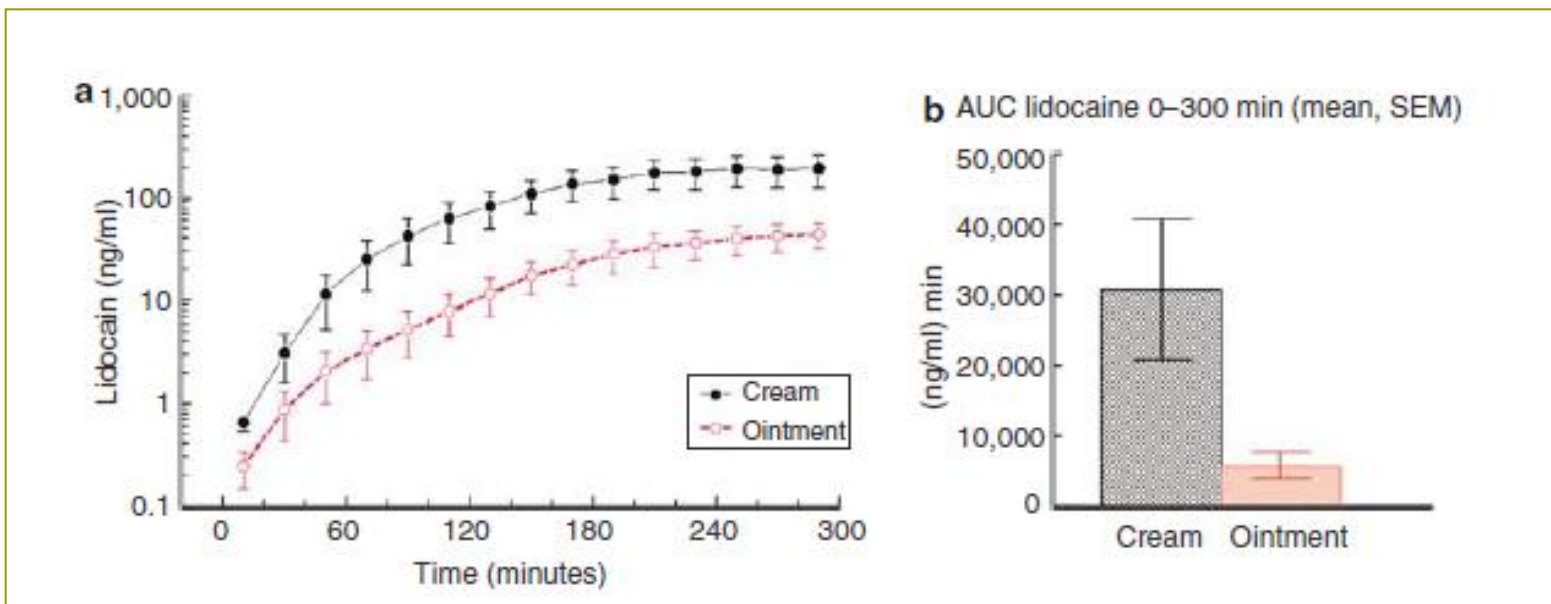


Figure 1. Linear microdialysis probes *in situ* in the dermis. The length accessible to microdialysis sampling is 3 cm. A microdialysis pump provides the perfuse flow of 1.25 µl/minute. Samples of 25 µl are collected every 20 minutes for 5 hours. At $t=0$, the topical formulation is applied in a dose of 4 mg/cm² and left throughout the experiment. Markings for insertion of the guide cannula are circles in order to avoid the introduction of a tattoo.

Benelfdt E, Hansen SH, Volund A, Menné T, Shah VP. J Invest Dermatol 2007;127:170-178

Produktu topikoen ebaluazioa: Mikrodialisia



Lidokainaren barneratzea bi formulazio ezberdin erabiltzen direnean (pomada eta krema): Neurketa mikrodialisi bidez egina

Benelfdt E, Hansen SH, Volund A, Menné T, Shah VP. J Invest Dermatol 2007;127:170-178

Produktu topikoen ebaluazioa: Ikerkuntza klinikoak (eraginkortasuna)

- Aknearen aurkako produktuak: 275-500 paziente
- Antifungikoak: 275-300 paziente

Xurgapen-sustatzaileak

EZAUGARRI EGOKIENAK

1. Farmakologikoki geldoak
2. Toxikoak ez, narritagariak ez, alergenikoak ez
3. Farmakoarekin eta eszipienteekin bateragarria
4. Hasiera azkarra, eragin iraunkorra, errepiagarria eta egokia
5. Azalak hasierako ezaugarriak berreskuratu behar ditu
6. Formulatzen errazak
7. Kosmetikoki onargarriak: usain, zapore, kolore gabeak
8. Merkeak

Xurgapen-sustatzaileak

- Gantz azidoak eta n-alkanolak (az. laurikoa)
- N-alkilazazikloheptanonak (Azona®)
- N-alkilpirrolidonak (N-metilpirrolidona)
- Tentsioaktiboak (sodio laurilsulfatoa)
- Beste eratorri alkilikoa (glizerilo oleatoa, glizerilo lauratoa)
- Terpenoak (d-limoneno, mentol)
- Alkohol hidrofiloak. Etanol eta poliolak
- Sulfoxidoak (DMSO)

Xurgapen-sustatzailak

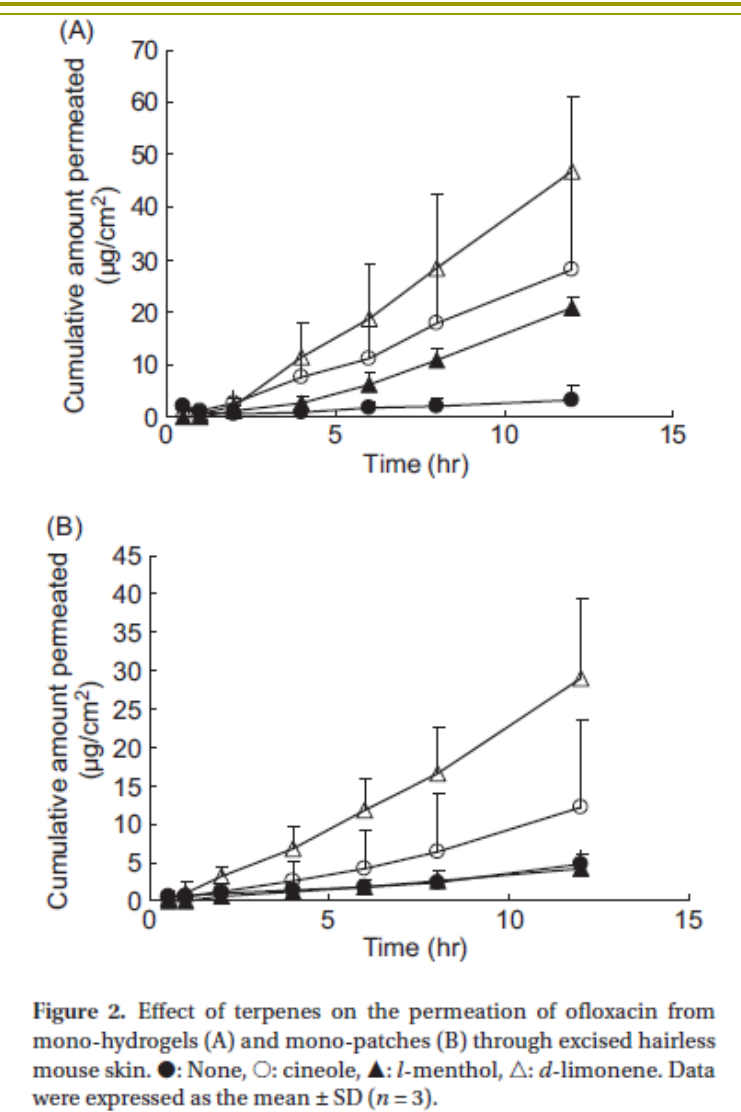


Figure 2. Effect of terpenes on the permeation of ofloxacin from mono-hydrogels (A) and mono-patches (B) through excised hairless mouse skin. ●: None, ○: cineole, ▲: *l*-menthol, △: *d*-limonene. Data were expressed as the mean \pm SD ($n = 3$).

Terpenoen eragina gel moduan formulatutako ofloxazinoren eta lidokainaren permeazioan

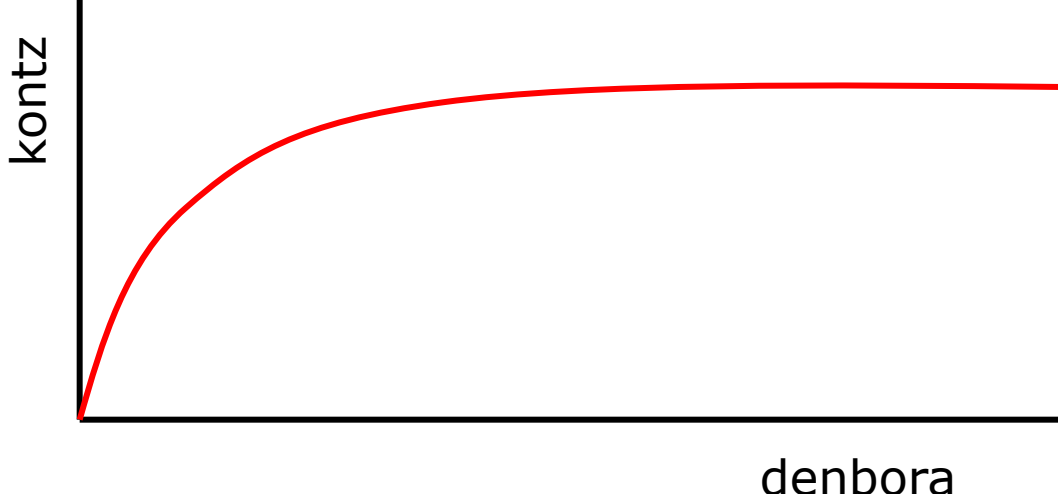
Azalean erabiltzeko forma farmazeutikoak

- Partxe transdermikoak (eragin sistemikoa)
- Azalena administratzeko hautsak
- Prestakin likidoak:
 - Disoluzioak
 - Emultsioak
 - Esekidurak
 - Adibideak: xanpuak (erdi-solidoak ere izan daitezke) eta azalerako aparrak
- Prestakin erdi-solidoak:
 - Pomadak
 - Kremak
 - Gelak
 - Pastak
 - Kataplasma
 - Apositu itsasgarriak
 - Azaleko partxeak (tokiko eragina)

Askapen-sistema transdermikoak

Abantailak

1. Kontzentrazio plasmatiko konstanteak (eraginkortasuna eta segurtasuna)
2. Gibeleko lehen iragaite efektua ekiditen da
3. Guztizko dosia eta administrazio maiztasuna murrizten dira
4. Posologia errazago betetzen da



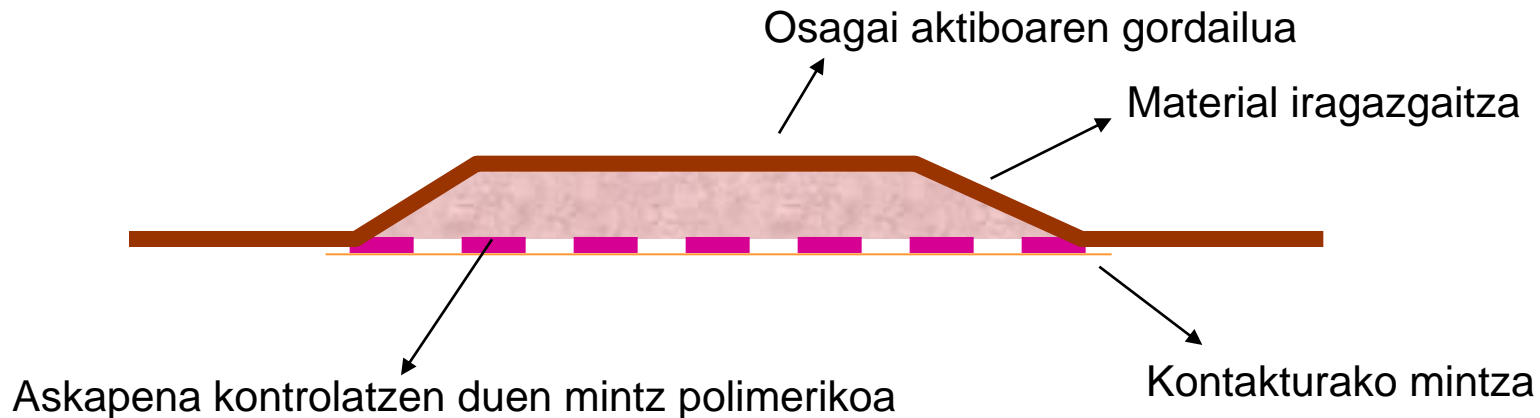
Askapen-sistema transdermikoak

Arazoak

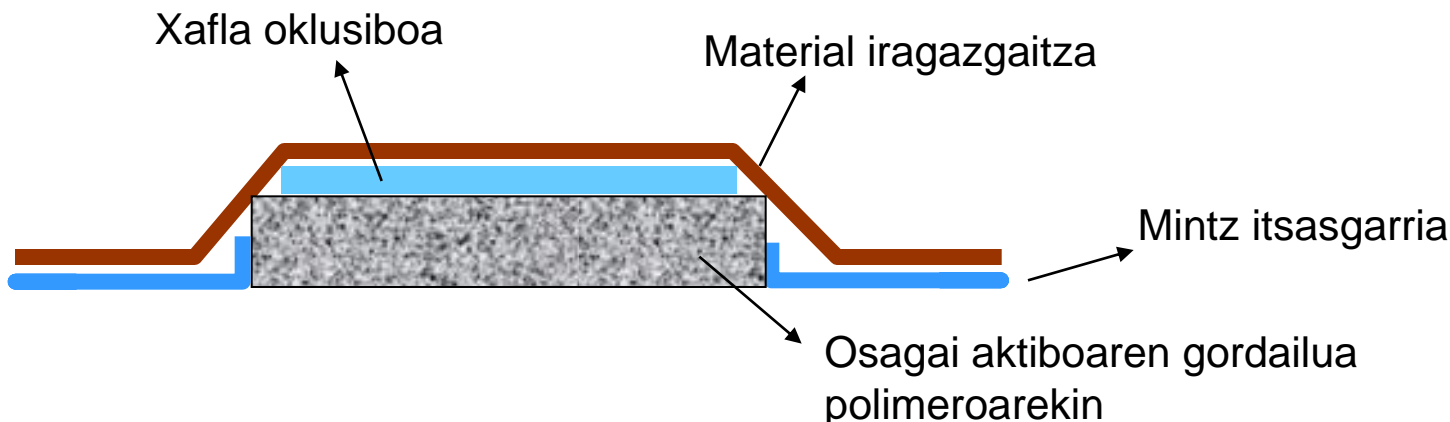
- Tolerantzia
- Narriadurak azalean
- Potentzia baxueko farmakoekin ezin erabili
(dosi-mugaketa)
- Kostua

Askapen-sistema transdermikoak

Gordailu sistema (askapena kontrolatzen duen mintza)



Sistema matriziala (matrize polimerikoak askapena kontrolatzen du)



Askapen-sistema transdermikoak

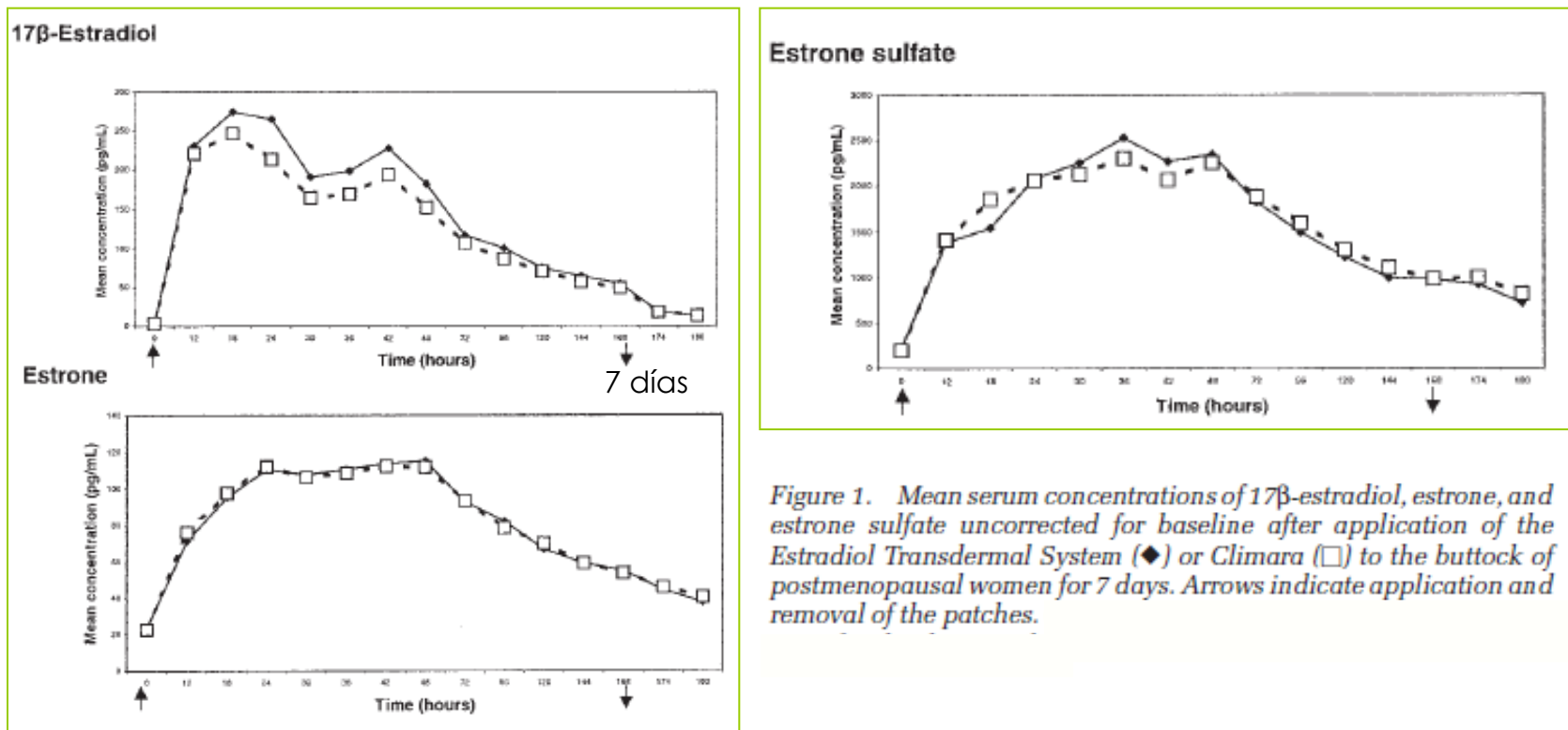


Figure 1. Mean serum concentrations of 17 β -estradiol, estrone, and estrone sulfate uncorrected for baseline after application of the Estradiol Transdermal System (◆) or Climara (□) to the buttock of postmenopausal women for 7 days. Arrows indicate application and removal of the patches.

IONTOFORESIA

Iontoforesia

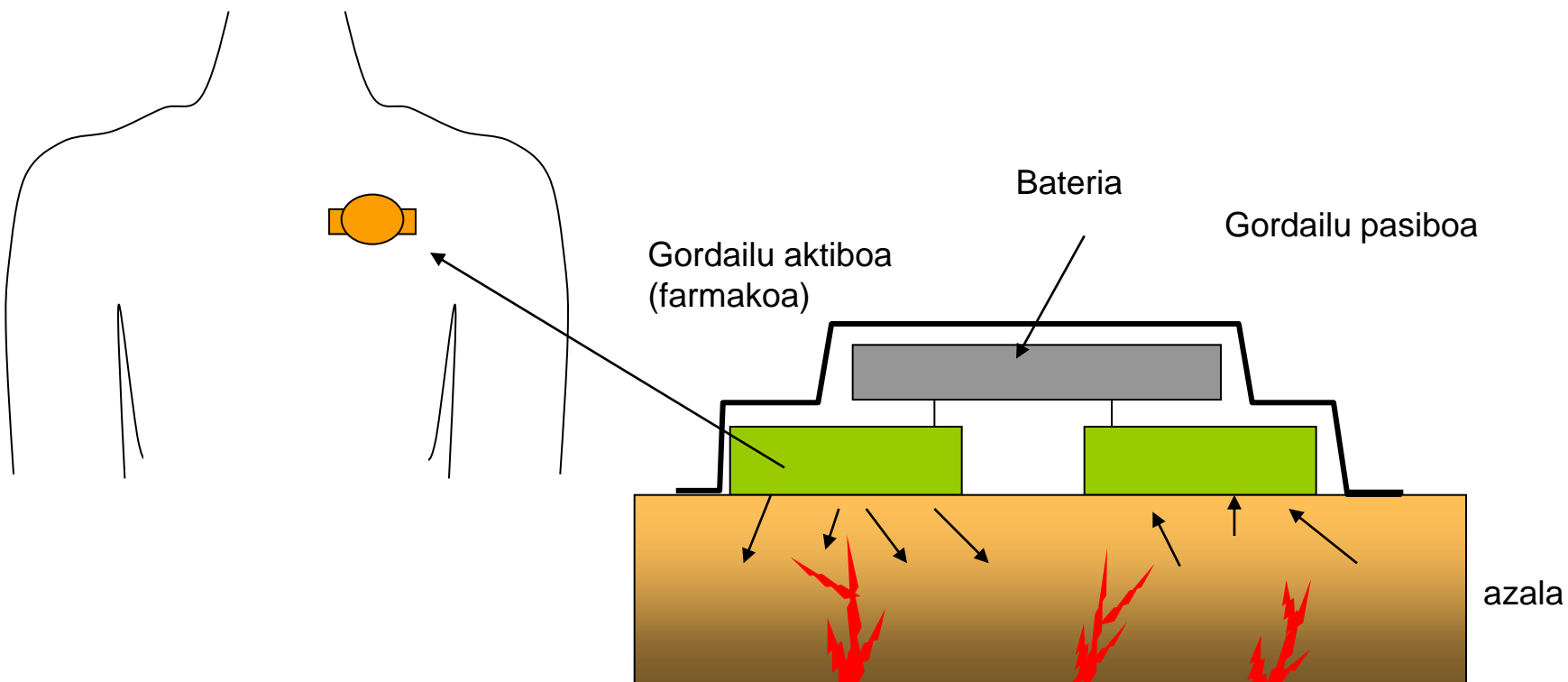
1. Kontzeptua
2. Ekintza mekanismoa
3. Abantailak
4. Arazoak

Iontoforesia: Kontzeptua

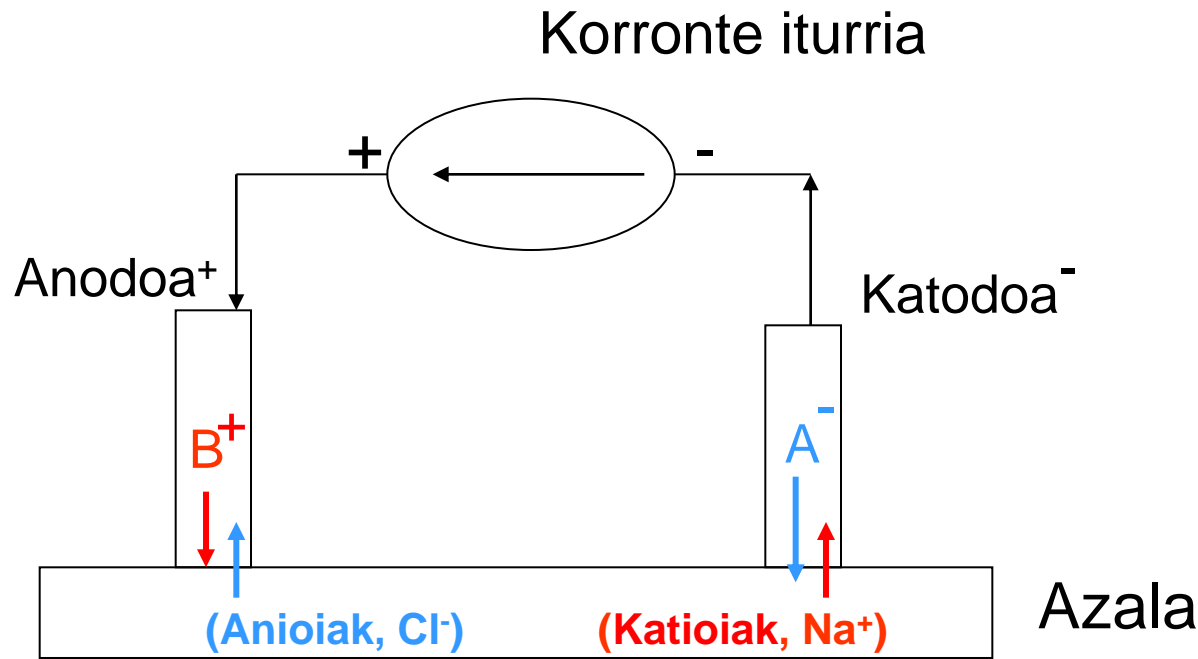
Izaera ionikoa duten agente terapeutikoen azalaren bidezko administrazioa korronte elektrikoa erabiliz

Iontoforesia: Kontzeptua

Izaera ionikoa duten agente terapeutikoen azalaren bidezko administrazioa korronte elektrikoa erabiliz



Iontoforesia: Kontzeptua



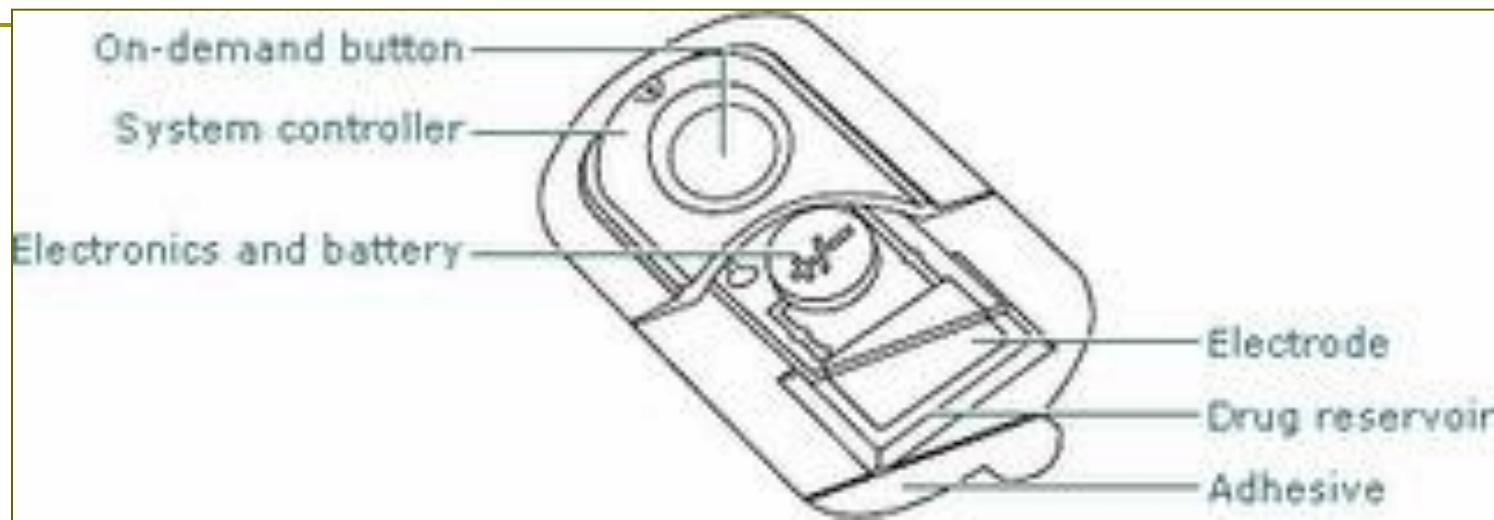
Iontoforesi sistemaren eskema

Iontoforesia: tresneria



Morphopedics-en argitaratua “Creative Commons Attribution-ShareAlike 3.0 License” lizentziarekin. <http://morphopedics.wikidot.com/physical-therapy-management-of-lateral-epicondylitis>

Iontoforesia: tresneria



Ionsys: Fentanilo administratzeko
iontoporesi sistema

*“Creative Commons Attribution 2.5 License” lizentziarekin argitaratuak.
<http://docsurg.blogspot.com.es/2006/08/pain-relief-iontophoresis.html>*

Iontoforesia: tresneria

Merkaturatutako hainbat iontoporesi sistema

| Sistema | Konpainia | Erabilera |
|------------------------|---------------------|--|
| GlucoWatch® Biographer | Cygnus, Inc | Glukosaren monitorizazioa |
| Phoresor® | Iomed Inc. | Disolbagarritasun baxuko ionizatutako farmakoen administrazioa (lidokaina, adrenalina) |
| Iontophor® Microphor® | Life-Tech, Inc. | Io izaera duten farmakoen adminisitrazioa Minaren tratamendurako erabili daiteke |
| Macrodut® | Wescor, Inc | Fibrosis kistikoaren diagnostikorako izerdia lortzeko |
| Nanoduct® | Wescor, Inc | Fibrosis kistikoaren diagnostikorako izerdia lortzeko jaioberrietan |
| Dupel® | Empi, Inc. | Disolbagarritasun baxuko ionizatutako farmakoen administrazioa |
| Drionic® | General Medical Co. | Hiperhidrosiaren tratamendurako |

Iontoforesia

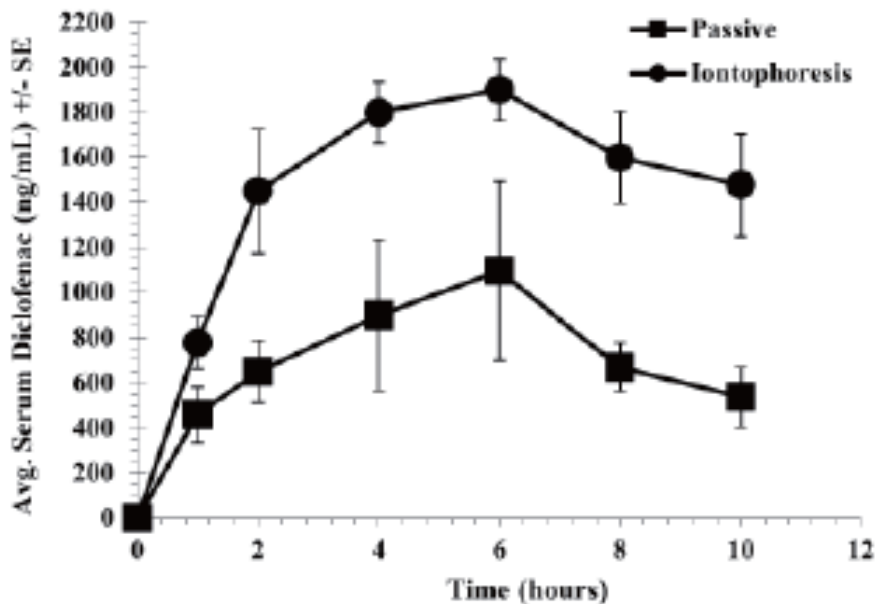


Figure 6. Average serum diclofenac levels after passive and iontophoretic delivery ($n = 4$).

Kasha PC, Anderson CR, Morris RL, Sembrowich WL, Chaturvedula A, Banga AK.
Drug Discov Ther 2012; 6:256-262

Eragin-mekanismoa

$$M_j = f \left(t \frac{i_j}{z_j} F \right)$$

Faraday-ren legea

M_j : ioi molak

t : denbora

i_j : korrotearen intentsitatea

z_j : ioiaren karga

F : Faraday-ren konstantea

Iontoforesia: korrontearen intentsitatearen eragina

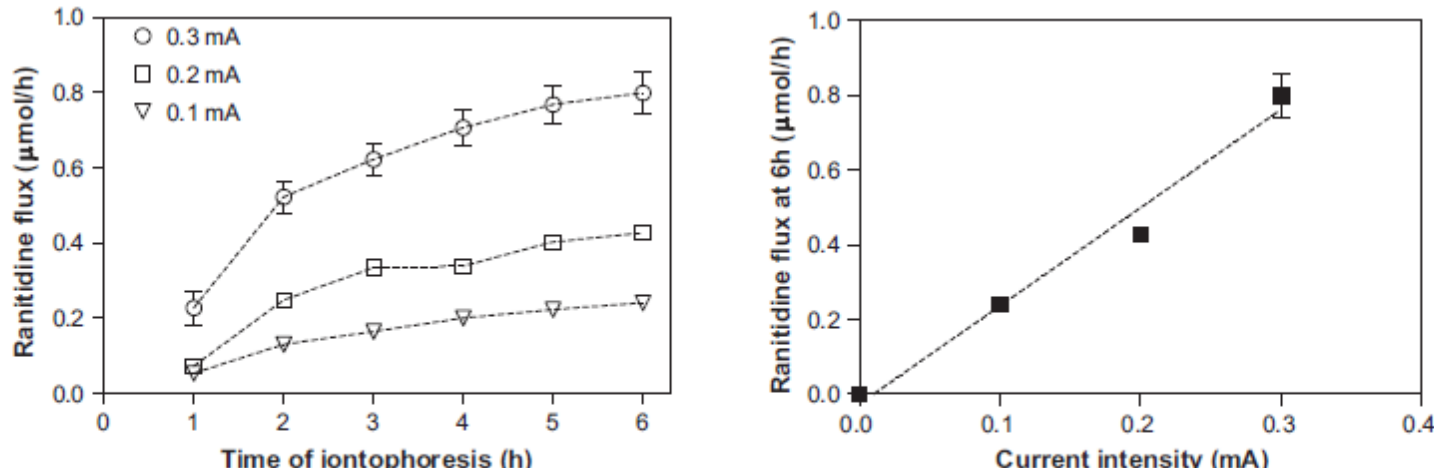


Fig. 2. Iontophoretic delivery of ranitidine (mean \pm SD) from a 50 mM donor solution (containing 5 mM Tris, pH 7) as a function of time (left) and current intensity (right), with which the flux at 6 h was highly correlated ($r^2 = 0.97$, $p < 0.0001$).

Djabri A, Guy RH, Delgado-Charro MB. Int J Pharmaceut 2012; 435:27-32

Iontoforesia: pHren eragina

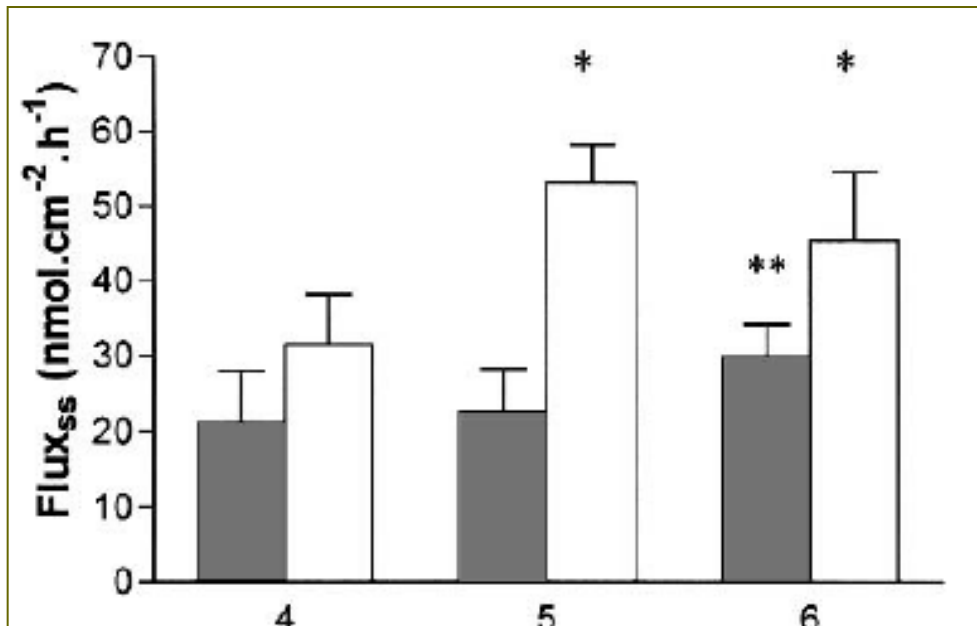


Fig. 2. Iontophoretic Flux_{ss} of 0.5 mg ml⁻¹ (filled bars) and 1.4 mg ml⁻¹ (open bars) of rotigotine at pH 4, 5, and 6. Data are presented as mean + SD ($n = 6$): * indicates the significant different in Flux_{ss} at pH 5 or 6 over pH 4 value (rotigotine concentration 1.4 mg ml⁻¹); ** indicates the significant difference in Flux_{ss} at pH 6 over pH 4 and 5 values (rotigotine concentration 0.5 mg ml⁻¹).

Nugroho AK, Li GL, Danhot M, Bouwstra JA. Pharm Res 2004 21:844-850

Abantailak

1. Askapena programatu:
 1. Askapen konstantea
 2. Dosifikazio erregimenaren indibidualizazioa
2. Tratamenduaren betetzea hobetu
3. Segurtasuna

Desabantailak

1. Farmakoak kargatuak egon behar dira
2. Dosia, printzipioz, ezezaguna da
3. Korrontearen eraginkortasuna
4. Garestia

SONOFORESIA

Sonoforesia

1. Kontzeptua
2. Parametroen aukeraketa
3. Ekintza mekanismoa
4. Segurtasuna

Sonoforesia: kontzeptua

Farmakoen administrazioa azalean ultrasoinuak erabiliz

Moduak:

1. Aldiberekoa
2. Tratamendu-aurrekooa



Maruani, Macheta L, Giraudeaua B, BoucaudA. Int J Pharm 2010; 385:37-41

Sonoforesia: kontzeptua



Figure 4. Low-frequency ultrasound treatment in a clinical setting with the SonoPrep® device (Echo Therapeutics, Franklin, MA, USA). The patient holds a conductive polymer hand-piece and the device automatically stops when the skin impedance is decreased to the desired treatment level. Usual treatment times are on the order of 10 s (reprinted with permission from [92]).

Sonoforesia: parametroen aukeraketa

Ultrasoinu frekuentziak: 20 KHz - 16 MHz

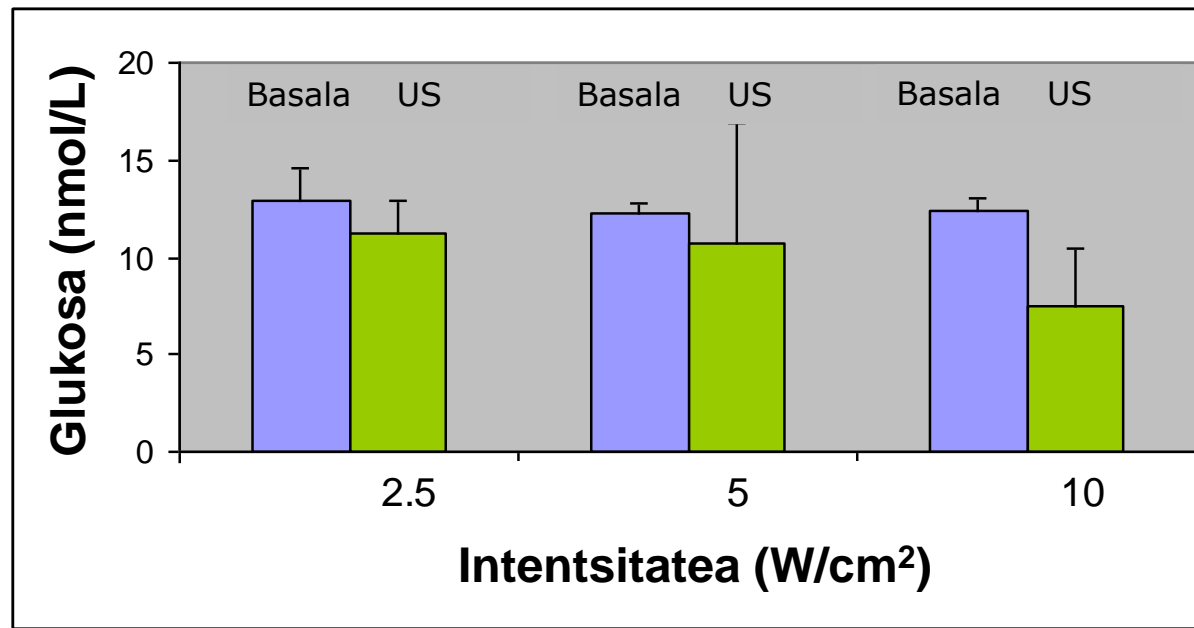
1. Frekuentzia terapeutikoa (1-3 MHz):
frekuentzia \uparrow \rightarrow eraginkortasuna \downarrow
2. Frekuentzia altua (>3 MHz):
Az salizilikoa: 10 MHz > 16 MHz > 2 MHz
3. Frekuentzia baxua (< 1 MHz): intsulina, interferoi γ , eritropoietina

Ultrasoinuen intentsitatea: 0,1 - 2 W/cm²

Pultsuak

Emate denbora

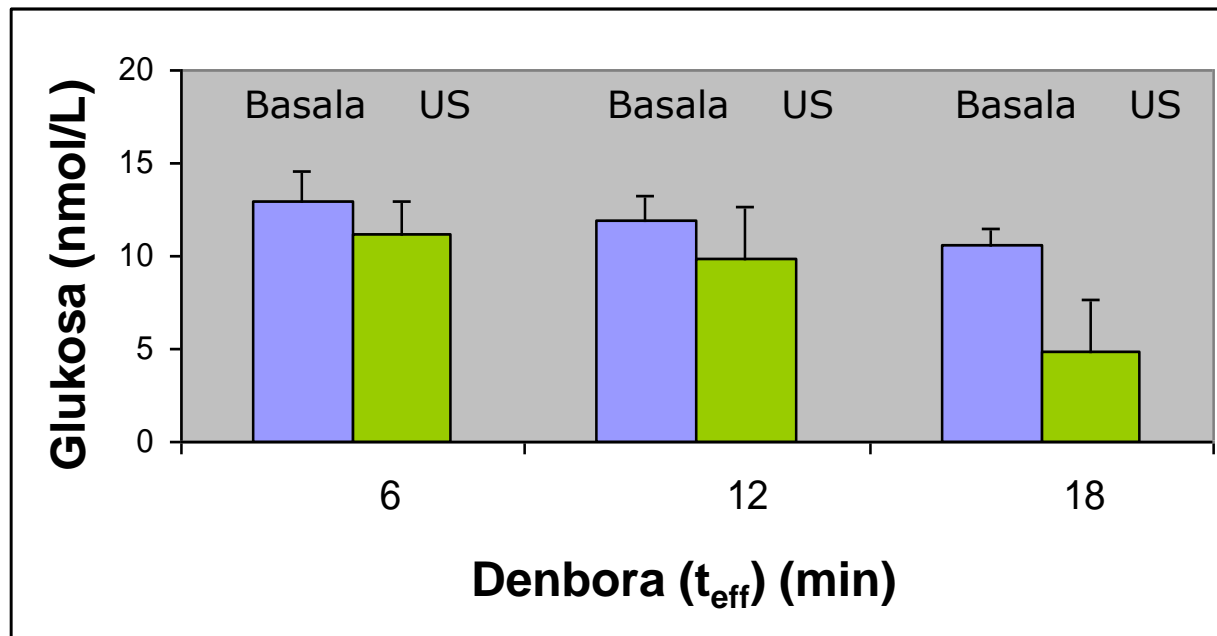
Sonoforesia: intentsitatearen eragina



Intentsitate ezberdineko sonoforesia erabiliz arratoiei intsulina administratu ondoren neurtutako glukosa kontzentrazioak (t_{US} 60 min, t_{eff} 6 min, t_{on} 0.1 s)

Iturri honetatik aldatua: Boucaud A, Garrigue MA, MAchet L, Vaillant L, Patat F. J Control Release 2001;81:113-119

Sonoforesia: esposizio-denboraren eragina



Denbora ezberdinean sonoforesia erabiliz arratoiei intsulina administratu ondoren neurtutako glukosa kontzentrazioak ($I: 2.5 \text{ W/cm}^2$; $t_{US} 60 \text{ min}$, $t_{on} 0.1 \text{ s}$)

Iturri honetatik aldatua: Boucaud A, Garrigue MA, MAchet L, Vaillant L, Patat F. J Control Release 2002;81:113-119

Sonoforesia: administratio modua

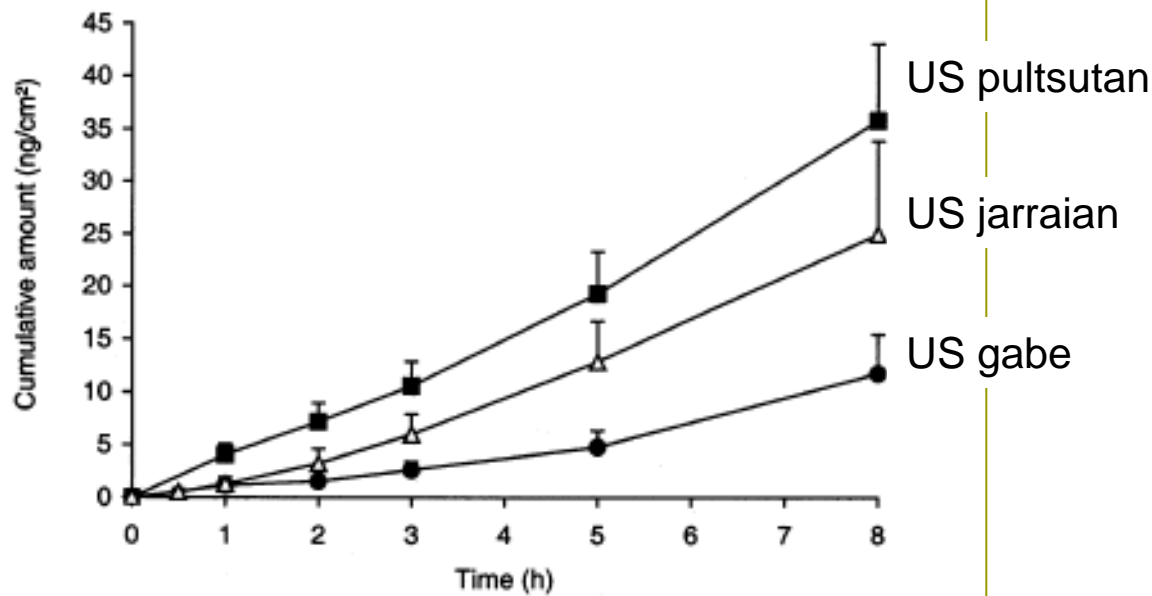


Fig. 1. Cumulative amount–time profiles of caffeine across human skin under continuous mode (2.5 W/cm^2 , 10 min) (\triangle) and pulsed mode (10% duty cycle, 2.5 W/cm^2 , 1 h) (\blacksquare) and without ultrasound (\bullet). Each value represents the mean \pm S.D. ($n = 4$).

Boucaud A, Machet L, Arbeille B, MAchet MC, Sournac M, Mayon A, Patat F, VAillat L. *Int J Pharmaceut* 2001; 228

Sonoforesia: adibideak

Pisu molekular baxuko heparinaren administrazioa

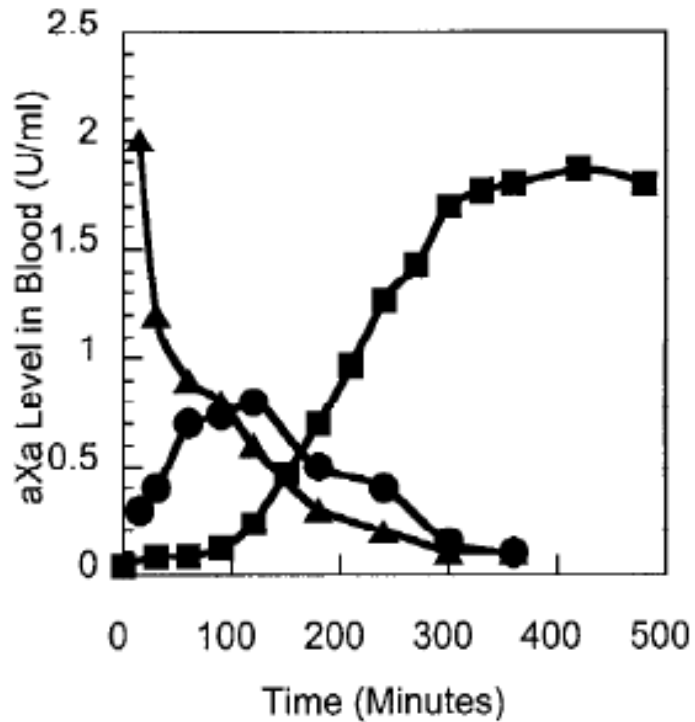


Fig. 6. Comparison of aXa profiles in the blood after transdermal delivery (squares) with a single subcutaneous injection (circles) and intravenous injection (triangles).

Mitragotri S, Kost J. Pharm Res 2001; 18:1151-1156

Sonoforesia: adibideak

Ikerkuntza klinikoa
tokiko anestesiko batekin

- Plazebo
- Partxea + US
- Partxea US gabe

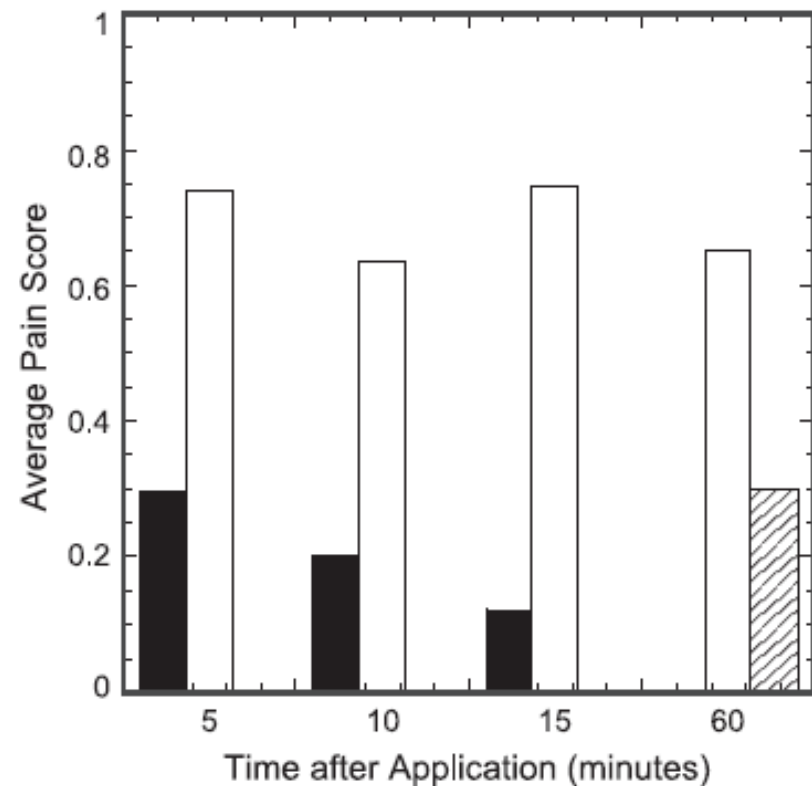


Fig. 3. Topical delivery of local anesthetic (EMLA) using low-frequency sonophoresis. White bars indicate pain score after placement of a placebo cream. Black bars indicate pain score after placement of EMLA on ultrasonically-treated skin. Hatched bar indicates pain score of EMLA on non-sonicated skin. Pain score after 5 min of EMLA + ultrasound is comparable to that of 60 min of EMLA alone.

Sonoforesia: adibideak

Histamina

- Frekuentzia: 36 KHz
- US1:
 - 2 s on/5s off
 - Intentsitatea $I_1 = 2.72 \text{ W/cm}^2$
- US2:
 - 3 s on/5s off
 - $I_2 = 3.50 \text{ W/cm}^2$

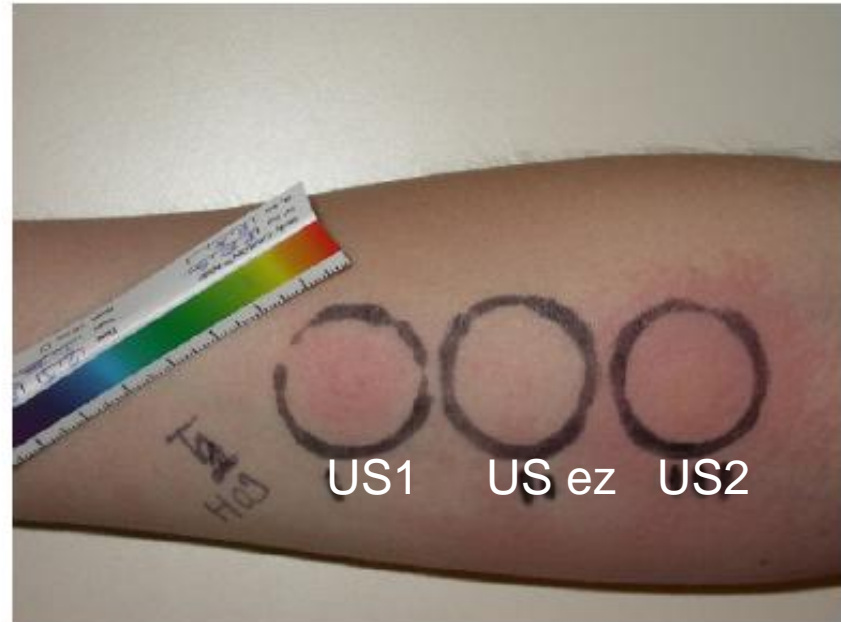


Fig. 3. Papules observed 30 min after the deposition of histamine on skin: one zone showed a large papule (zone III, after US_2), one a moderate papule (zone I, after US_1) and one no papule (zone II, no US previously applied).

Table 1

Area of papule induced by the deposition of histamine: measurements obtained 30 min after the application or not ultrasound in 10 patients.

| | Number of subjects showing a papule | Area of the papule (mm^2), median [interquartile range] |
|---------------|-------------------------------------|--|
| No US | 0 | - |
| US_1 | 9 | 39.3 [12.6-121.0] |
| US_2 | 9 | 62.8 [16.5-141.4] |

US: ultrasound; US_1 : ultrasound with intensity = 2.72 W/cm^2 ; US_2 : ultrasound with intensity = 3.50 W/cm^2 .

Sonoforesia: minbiziaren aurkako tratamendua

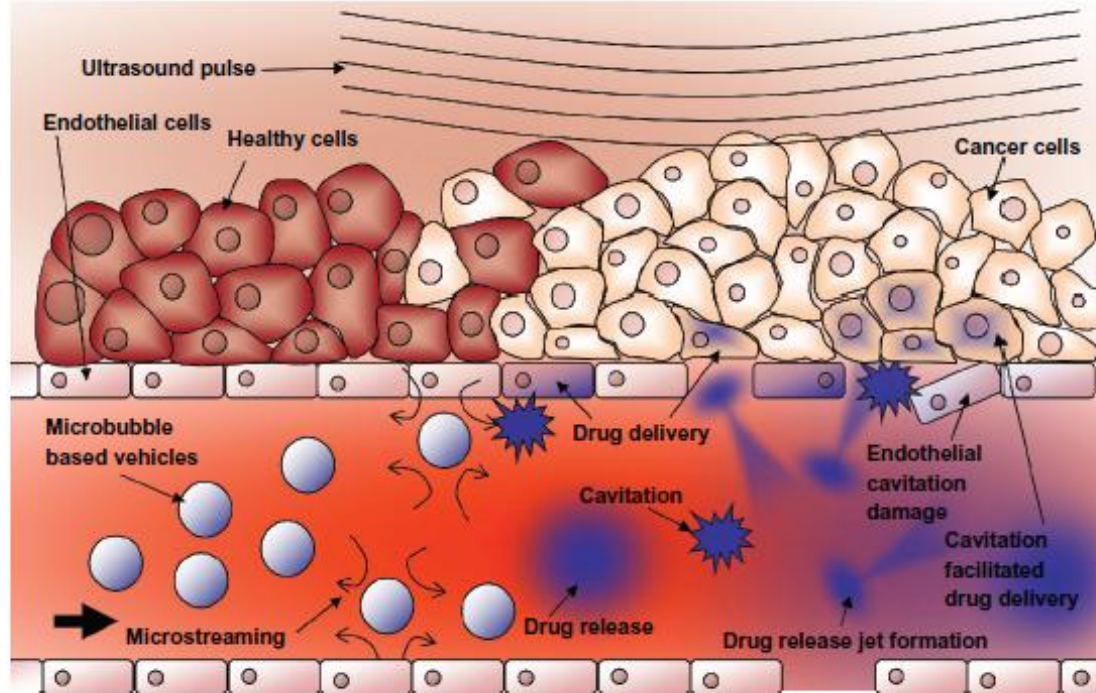


Figure 8 Schematic representation of ultrasound-triggered drug delivery on the cellular level.

Notes: Microbubble-based drug-delivery vehicles flow through the vasculature into the ultrasound focal zone within the tumor region where they undergo cavitation. Microbubbles on the edge of the focal zone undergo some vibration, resulting in microstreaming. These two mechanisms help to increase the permeability of the cell membranes of the nearby endothelial cells, facilitating drug delivery to the tumor neovasculature. The inherent leakiness of the tumor vasculature allows some of the released drug to gain access to the tumor cells, which can be enhanced though damage done to the vasculature by the inertial cavitation shockwave. The concentration of the drug in the tumor circulation increases with further ultrasound pulses that allow fresh vehicles to enter the tumor. Over time, the drug has a chance to spread further into the tumor tissue. Drug that is not taken up by the tumor is swept downstream where it is diluted into systemic circulation, creating a dramatically smaller systemic dose than would be encountered by simply injecting the free drug into circulation.

Eragin biologikoak

1. Eragin termikoak
2. Korronte akustikoa
3. Kabitazio-eragina

Sonoforesia: Eragin termikoak

1. Ehunaren proteinen eduki altua
2. Baskularizazio ahula
3. Hezurrak
4. Handitzen da:
 - a. Intentsitatearekin
 - b. Frekuentziarekin
 - c. Ezarpen denborarekin
 - d. Modu jarraian ezartzen denean

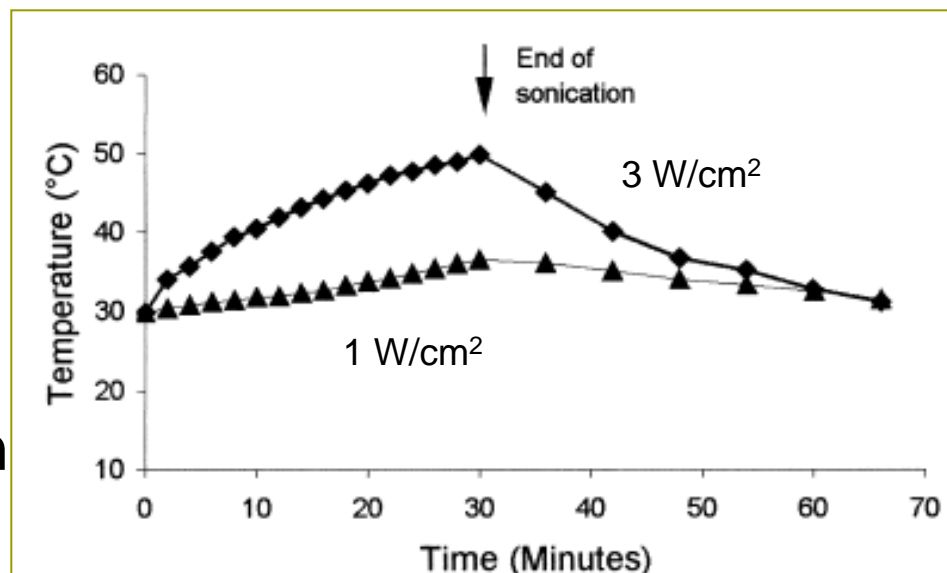


FIG. 1. Increase in temperature in donor compartment during sonication. ♦-3 Watts/cm²; ▲-1 Watts/cm².

Sonoforesia: Korronte akustikoa

1. Fluido biologikoen mugimendua
2. Ultrasoinuen erabilera modu jarraian

Sonoforesia: kabitazio eragina

1. Frekuentzia baxuko eta intentsitate altuko ultrasoinuak
2. Ehunaren temperatura ohikoa baino altuagoa

Sonoforesia: kabitazio eragina

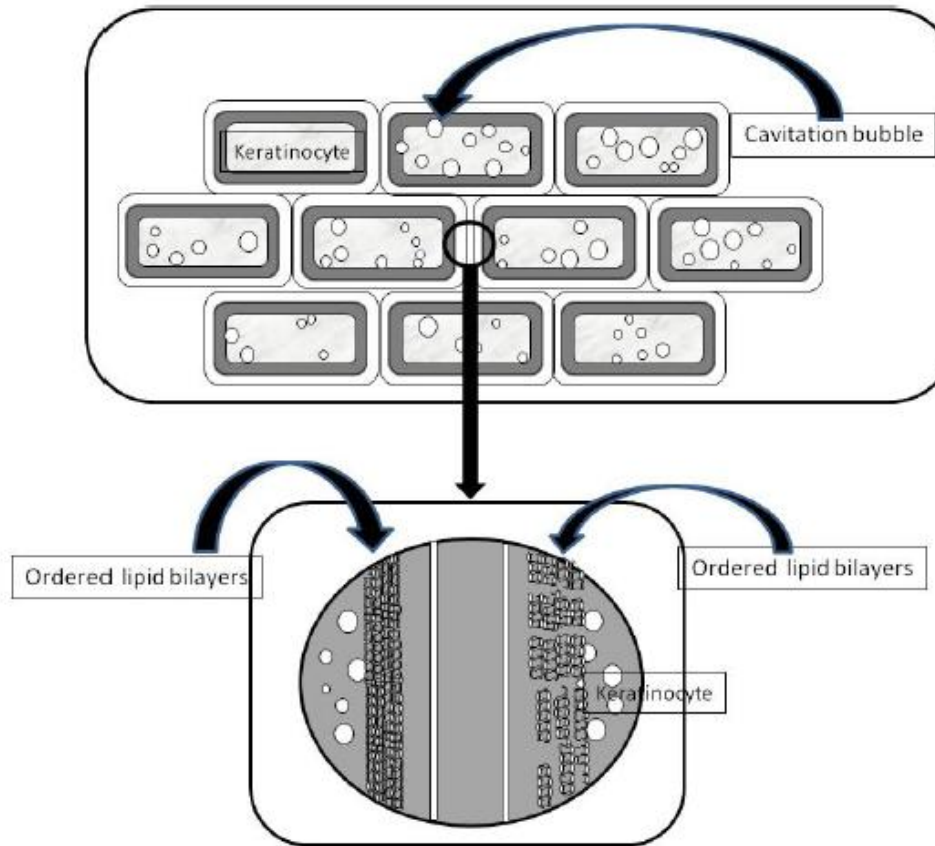


Figure 4. Schematic sketch of cavitation occurring in the keratinocytes. Cavitation occurs preferentially at the interface between the keratinocytes and the lipid bilayers

Sonoforesia: kabitazio eragina

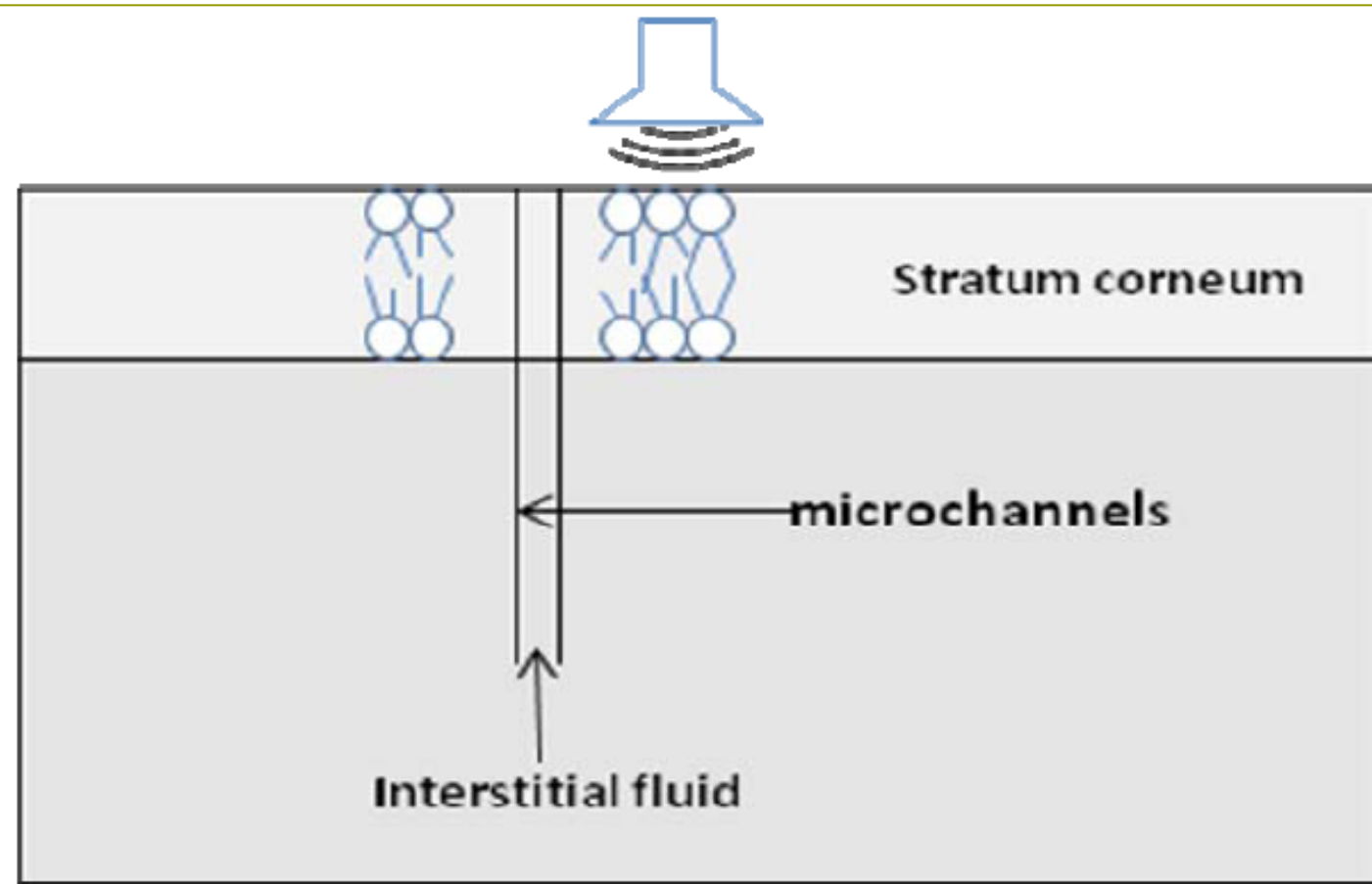


Figure 3. Picture of how ultrasound disrupts the stratum corneum